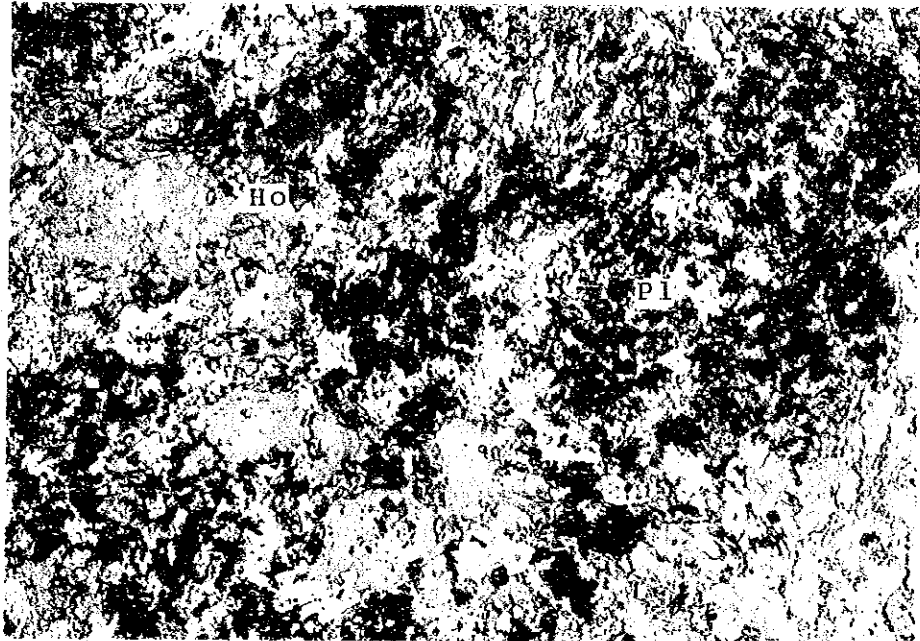


Apc.2 Photographie microscopique de lame de roche typique

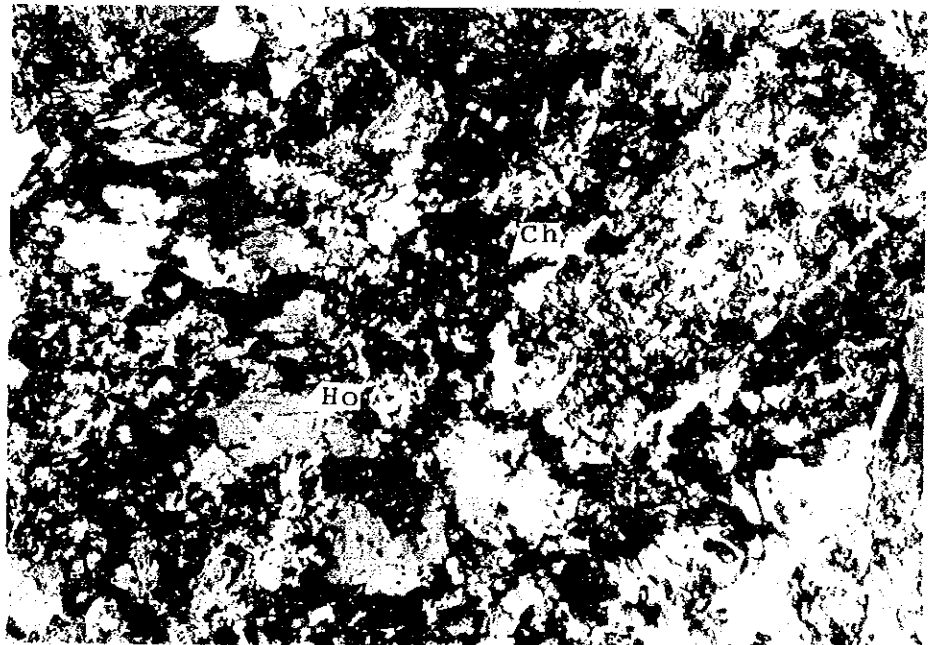
Abréviation

Qz: Quartz	Ti: Titanite
Pl: Plagioclase	Hm: Hématite
Or: Feldspath potassique	Ch: Chlorite
Bi: Biotite	Ep: Epidote
Mus: Muscovite	Se: Sericite
Ho: Hornblende	Oq: Minéral opaque
Ac: Actinolite	



Nicol ouvert

0 0.4mm

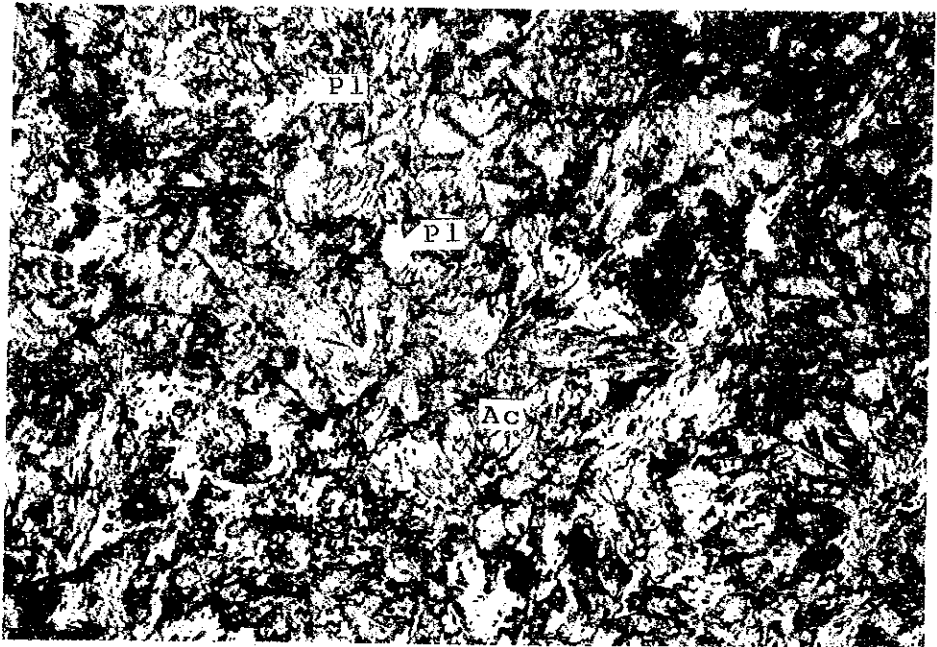


Nicol croiseur

0 0.4mm

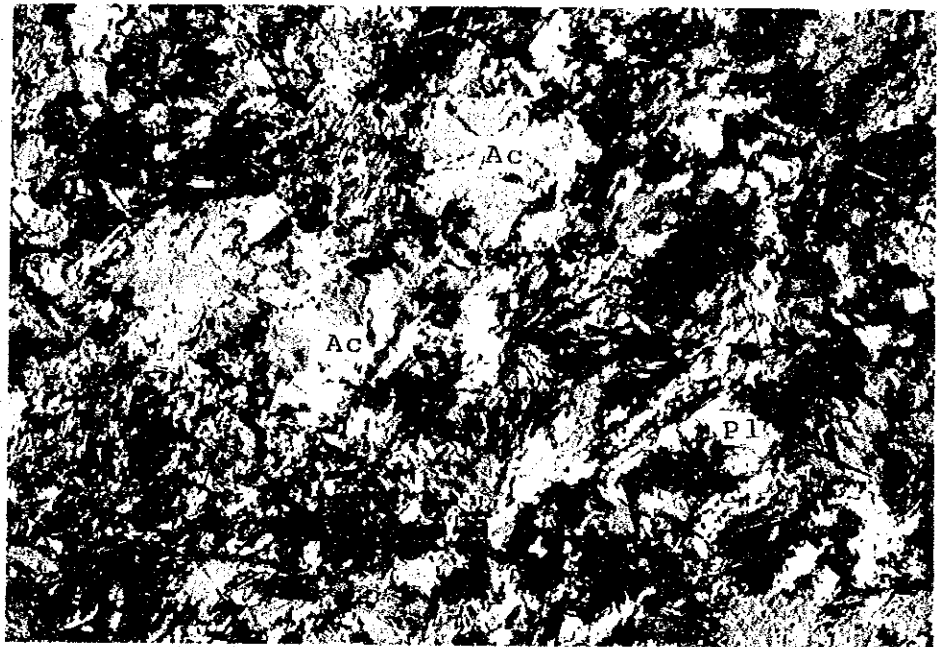
Numéro d'échantillon: II31B

Nomenclature : Diorite quarzifère hornblende



Nicol ouvert

0 0,4mm



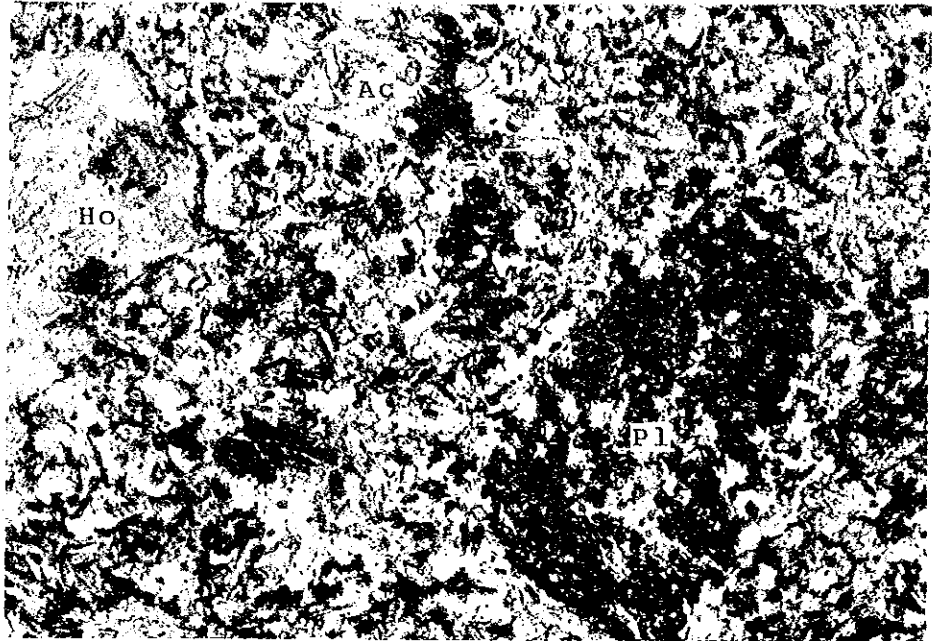
Nicol croiseur

0 0,4mm

Numéro d'échantillon: NC29

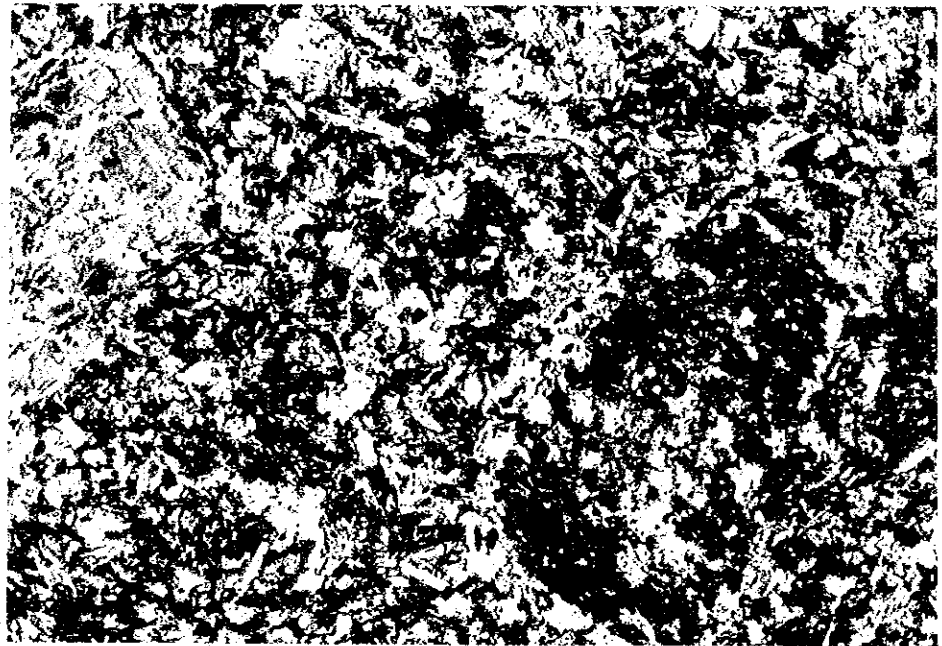
Nomenclature : Métagabbro

Apr 2 20



Nicol ouvert

0 0.4mm

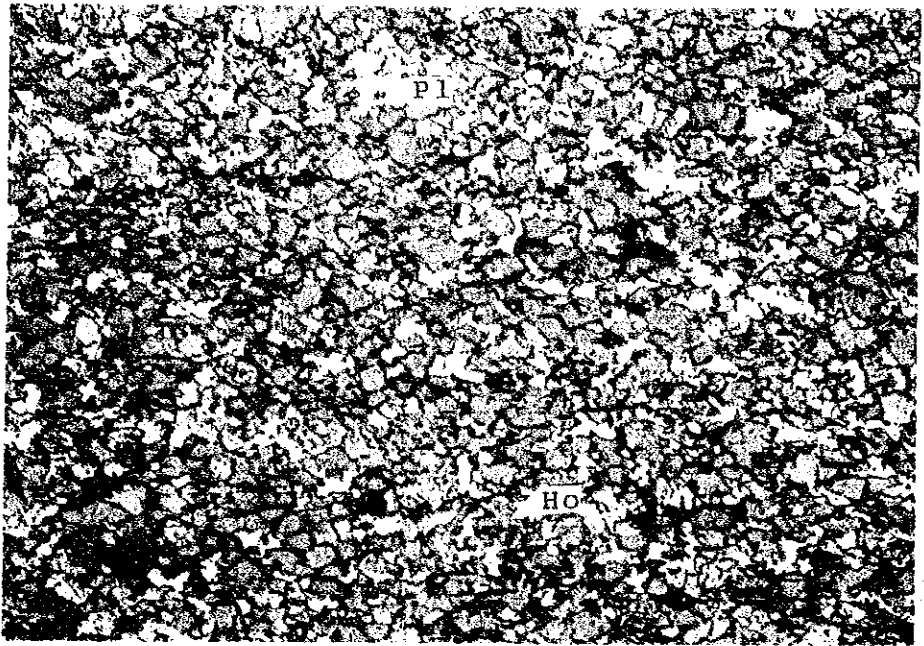


Nicol croiseur

0 0.4mm

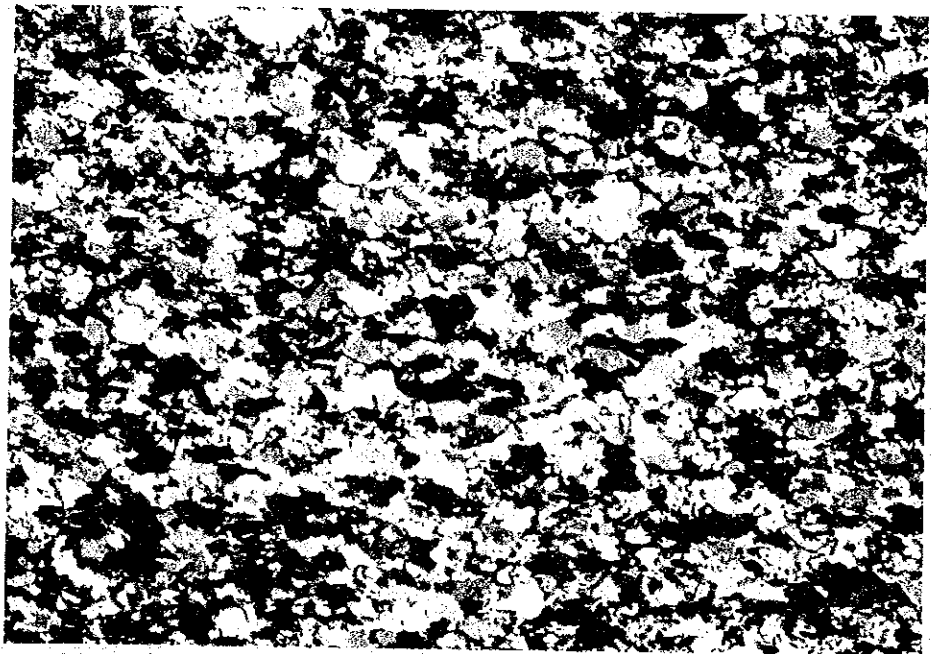
Numéro d'échantillon: II24

Nomenclature : Métaandésite



Nicol ouvert

0 0.4mm

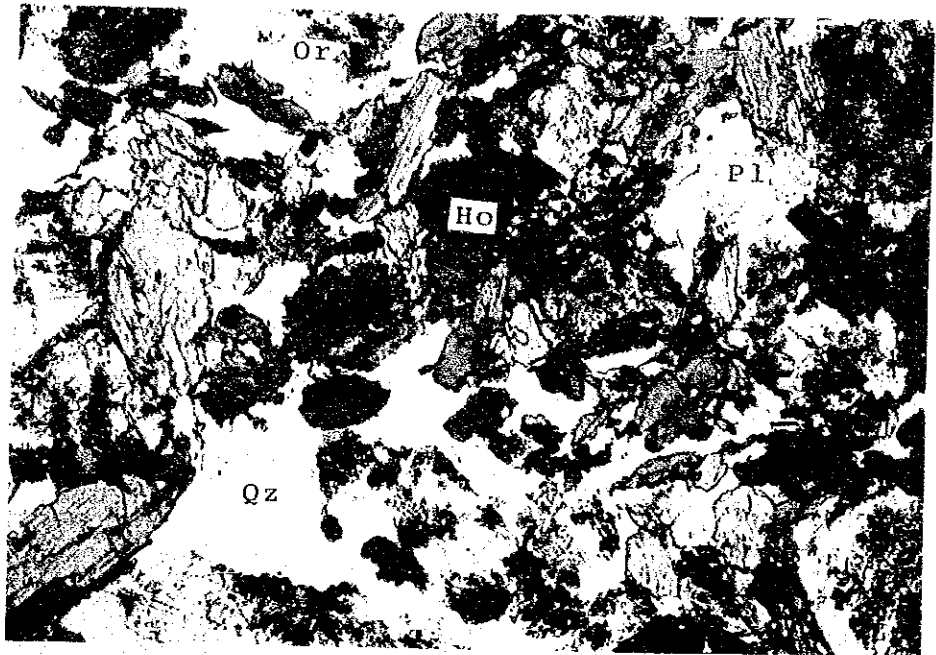


Nicol croiseur

0 0.4mm

Numéro d'échantillon: NZ241
Nomenclature : Amphibolite

NZ 241



Nicol ouvert

0 0.4mm



Nicol croiseur

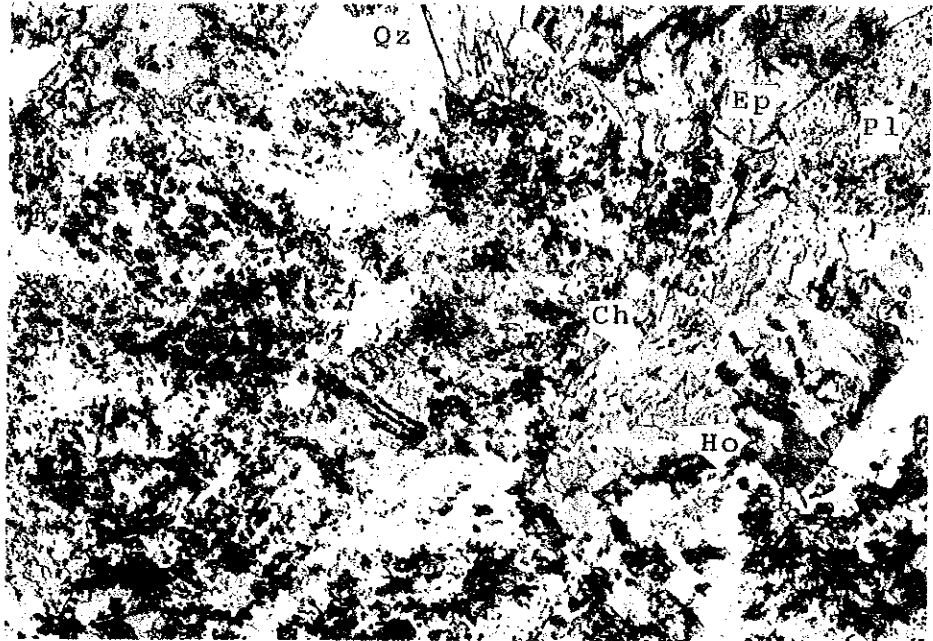
0 0.4mm

Numéro d'échantillon: MM39

Nomenclature

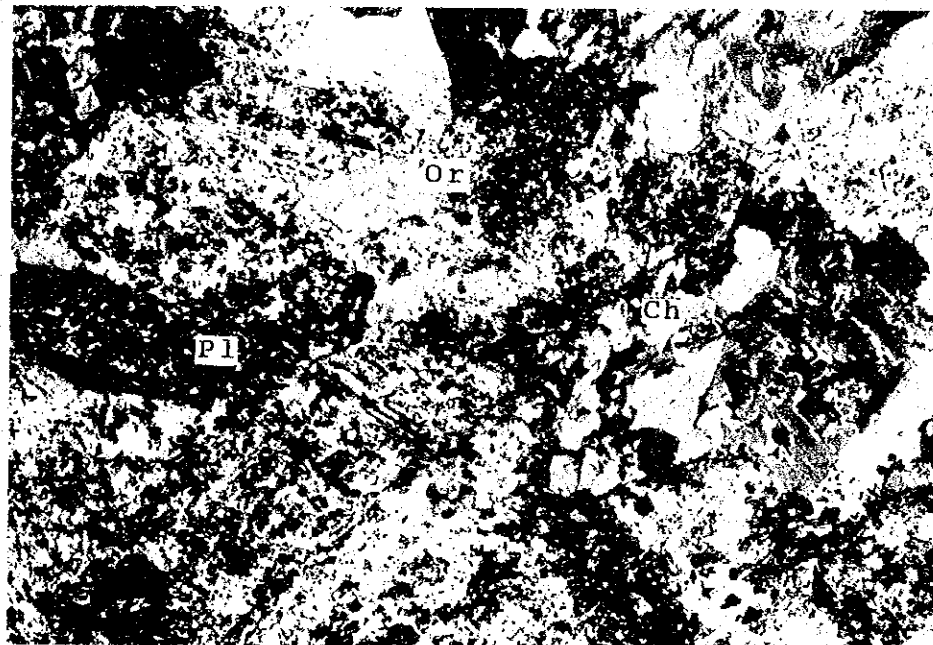
: Tonalite à hornblende

Arch - 3/1



Nicol ouvert

0 0.4mm



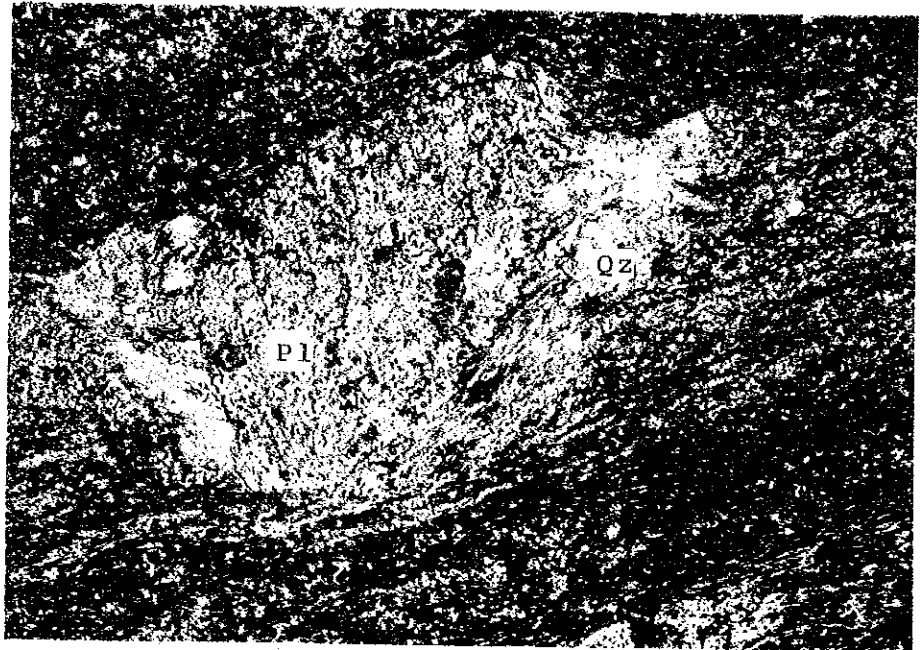
Nicol croiseur

0 0.4mm

Numéro d'échantillon: WW29B

Nomenclature : Tonalite à hornblende

Fig. 6



Nicol ouvert

0 0.4mm



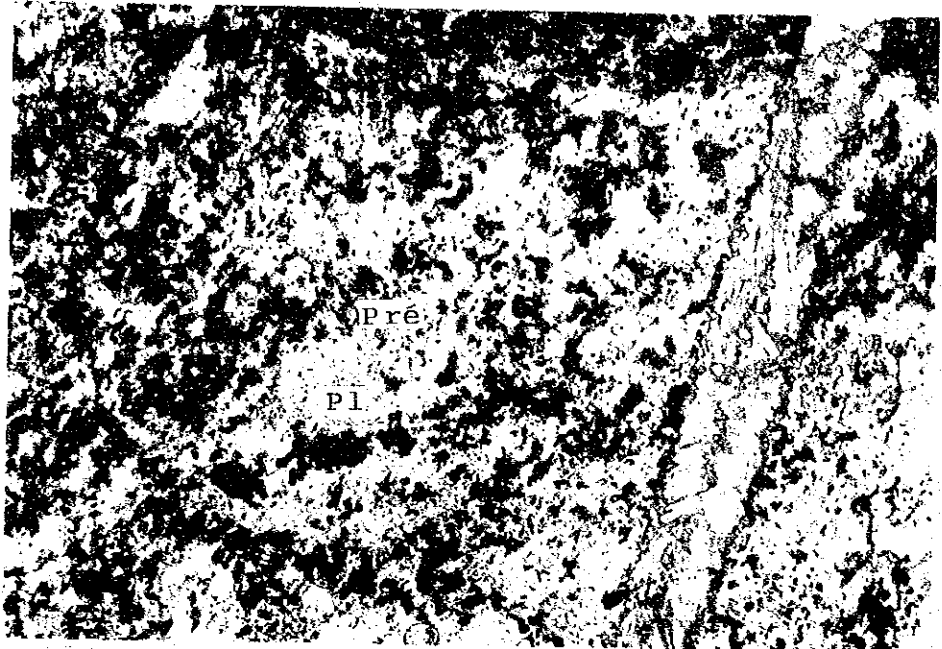
Nicol croiseur

0 0.4mm

Numéro d'échantillon:SSBT-1

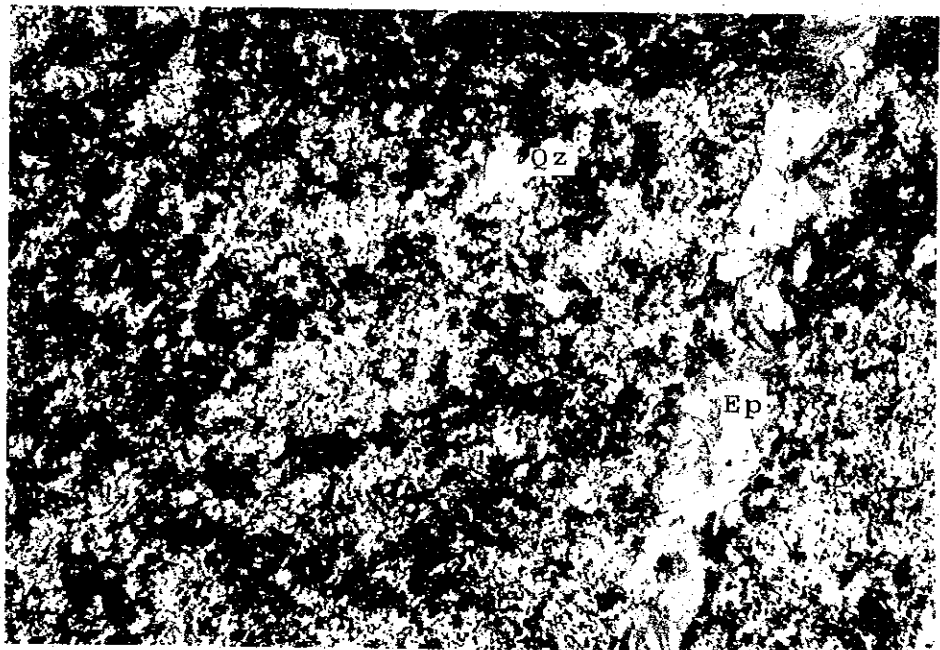
Nomenclature :Schiste vert

1



Nicol ouvert

0 0.4mm

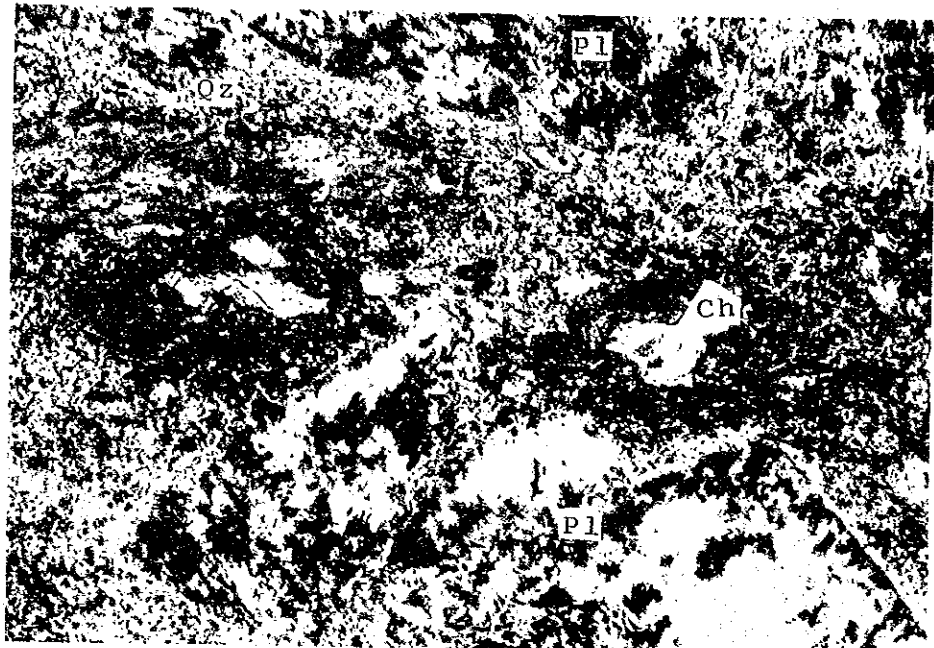


Nicol croiseur

0 0.4mm

Numéro d'échantillon:SSBT-3

Nomenclature :La roche basique



Nicol ouvert

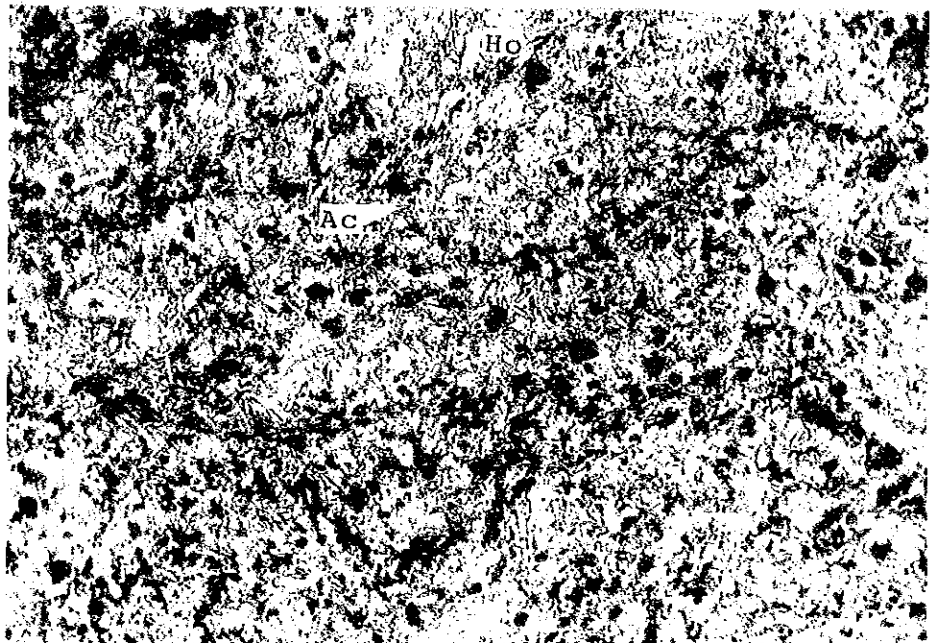
0 0.4mm



Nicol croiseur

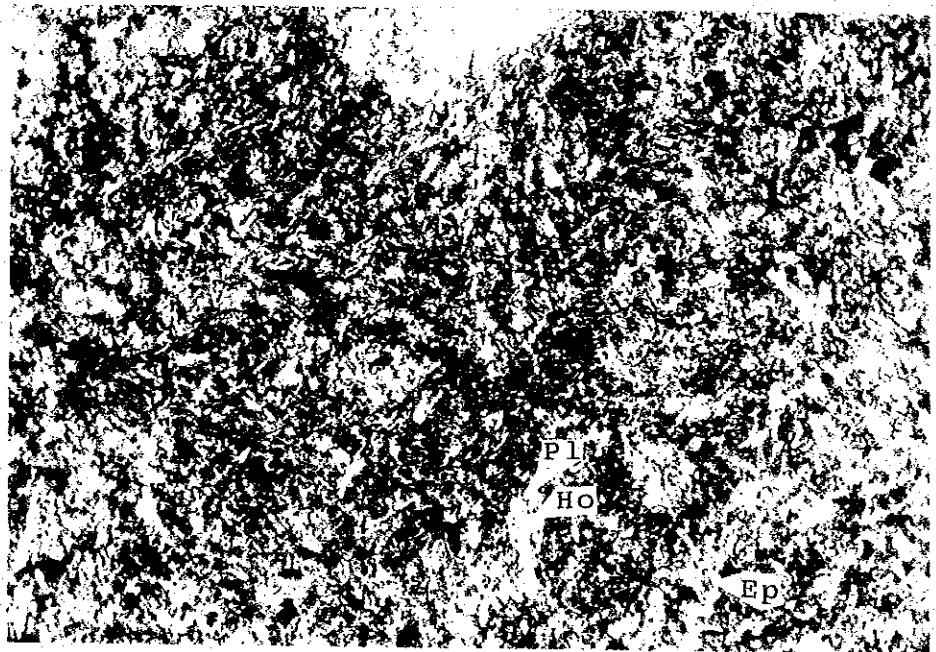
0 0.4mm

Numéro d'échantillon: SSBT-5
Nomenclature : Rhyolite



Nicol ouvert

0 0.2mm



Nicol croiseur

0 0.2mm

Numéro d'échantillon: SSBT-7
Nomenclature : Métabasalte

10/10

Apc.3 Caractère de lame polie sous microscope

Secteur	Numero de Echantillon	Localite			Mineral							Note										
		Longitude	Latitude	Profondeur	Or	Po	As	Py	Lm	Cp	Ga		Sp									
Namaro	AA29-3	N13. 39' 58"	E1. 32' 30"																			
	AA29-5	N13. 39' 58"	E1. 32' 30"																			
	AA29-7	N13. 39' 58"	E1. 32' 30"																			
	MM28-3	N13. 42' 22"	E1. 34' 46"																			
	MM28-4	N13. 42' 22"	E1. 34' 46"																			
	MM28-5	N13. 42' 22"	E1. 34' 46"																			
	MM28-10	N13. 42' 22"	E1. 34' 46"																			
	SS29	N13. 43' 32"	E1. 35' 53"																			Méta andésite
	UU27-1	N13. 43' 35"	E1. 36' 40"																			
	UU27-2	N13. 43' 35"	E1. 36' 40"																			
	VV26	N13. 43' 37"	E1. 37' 00"																			
	XX23-YY23	N13. 43' 27"	E1. 37' 55"																			
	XX26-9-1	N13. 44' 00"	E1. 37' 14"																			
	XX26-9-2	N13. 44' 00"	E1. 37' 14"																			
	XX27	N13. 44' 10"	E1. 37' 15"																			
	XX27-1	N13. 44' 13"	E1. 37' 12"																			
	XX27-2	N13. 44' 11"	E1. 37' 12"																			
	XX27-3	N13. 44' 14"	E1. 37' 14"																			
	XX27-1-7	N13. 44' 13"	E1. 37' 14"																			
	XX27-1-9	N13. 44' 13"	E1. 37' 14"																			
XX27-1-10	N13. 44' 13"	E1. 37' 14"																				
XX27-1-11	N13. 44' 13"	E1. 37' 14"																				
XX27-28-1	N13. 44' 12"	E1. 37' 11"																				
XX27-28-2	N13. 44' 14"	E1. 37' 07"																				
NA31-1	N13. 45' 31"	E1. 36' 59"																				
NB11-1	N13. 42' 03"	E1. 41' 15"																				
R12-3	N13. 36' 42"	E1. 33' 13"																				
R12-4	N13. 36' 42"	E1. 33' 13"																				
R12-5	N13. 36' 42"	E1. 33' 13"																				
U14-B	N13. 37' 07"	E1. 34' 43"																				
U14-H	N13. 37' 07"	E1. 34' 43"																				
Echantillon	No de Sondage	Profondeur		Or	Po	As	Py	Lm	Cp	Ga	Sp											
SSBP-1	MJNS-3	115.30m																				
SSBP-2	MJNS-4	70.65m																				
SSBP-3	MJNS-5	61.00m																				
SSBP-4	MJNS-6	57.80m																				
SSBP-5	MJNS-9	95.60m																				
SSBP-6	MJNS-9	111.00m																				
SSBP-7	MJNS-14	111.70m																				
SSBP-8	MJNS-15	63.90m																				
SSBP-9	MJNS-15	100.05m																				
SSBP-10	MJNS-18	137.95m																				
Séfa																						
Nangué																						

Marque
 © Abondant
 ○ Moyen
 • Faible
 - Rare

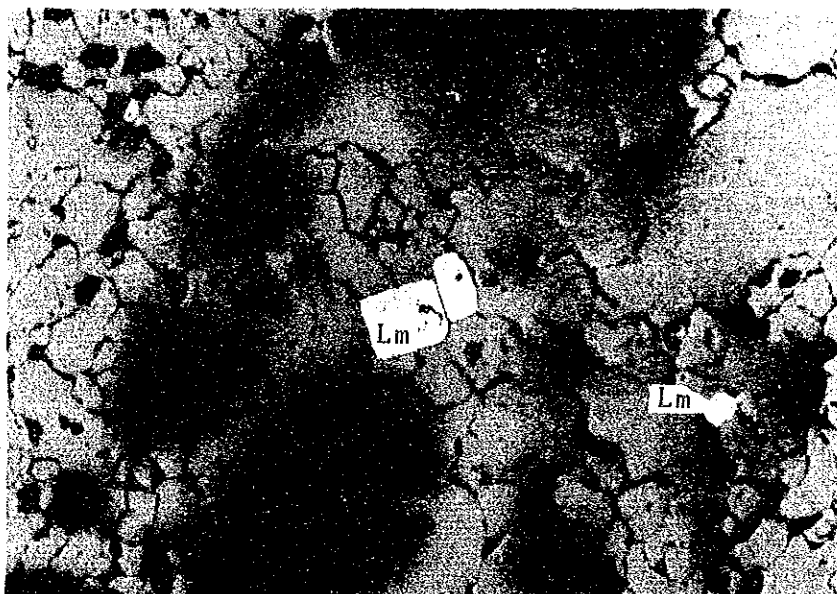
Abréviation
 Or:Or natif
 Po:Pyrrhotine
 As:Arsénoopyrite
 Py:Pyrite
 Lm:Limonite
 Cp:Chalcopyrite
 Ga:Galène
 Sp:Sphalérite

Py métasomatique

Apc.4 Microphotographie des sections polies

Abréviation

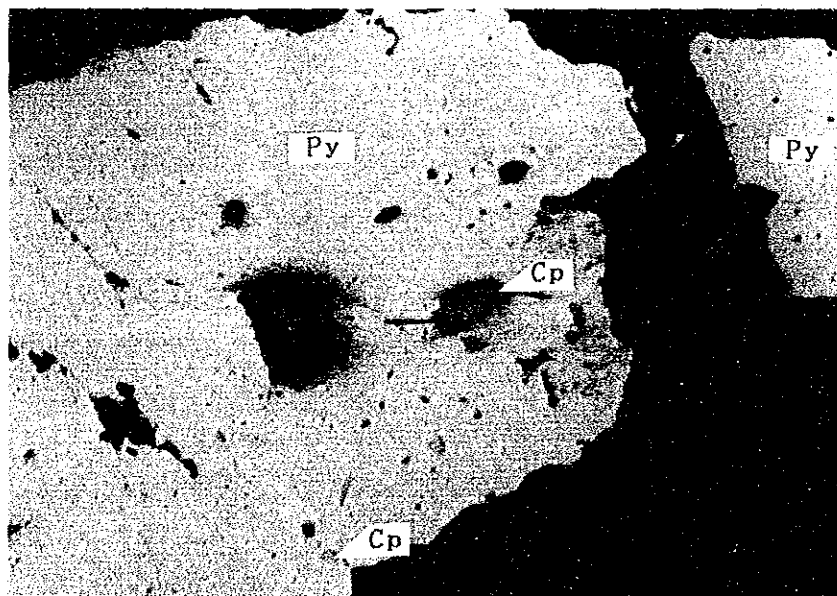
Or : Or natif	Lm : Limonite
Po : Pyrrhotine	Cp : Chalcopryrite
As : Arsénopyrite	Ga : Galene
Py : Pyrite	



Nicol ouvert

N^o d'échantillon: XX27-1-9 0 0.2mm
 Localité : N13° 44' 13" E1° 37' 14"
 Type de minerais: Le filon de quartz d'or
 Remarque : Lm

Le secteur Namaro



Nicol ouvert

N^o d'échantillon: XX27-28-1 0 0.2mm
 Localité : N13° 44' 12" E1° 37' 11"
 Type de minerais: Le filon de quartz d'or
 Remarque : Py > Cp

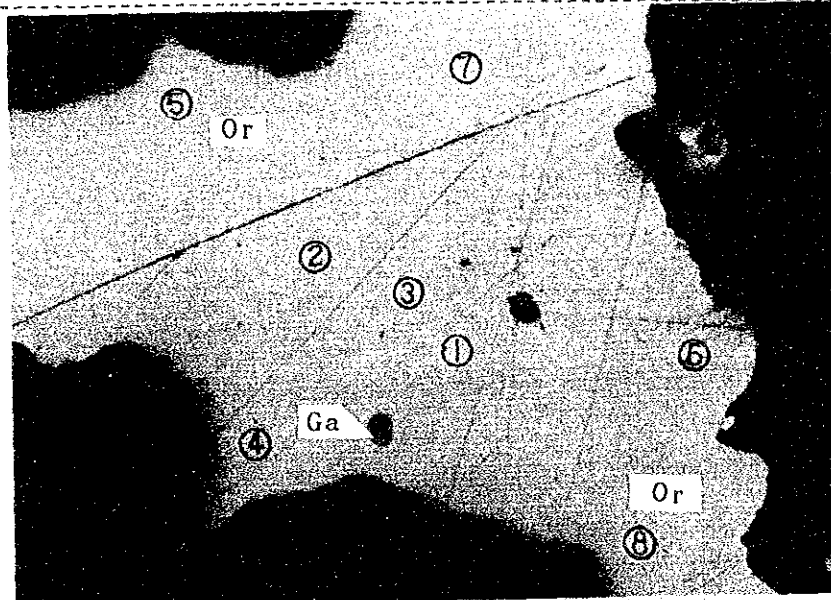
Le secteur Namaro



Nicol ouvert

N^o d'échantillon: R12-4 0 _____ 0.4mm
 Localité : N13° 36' 42" E1° 33' 13"
 Type de minerais: Le filon de quartz d'or
 Remarque : Py>Lm

Le secteur Namaro

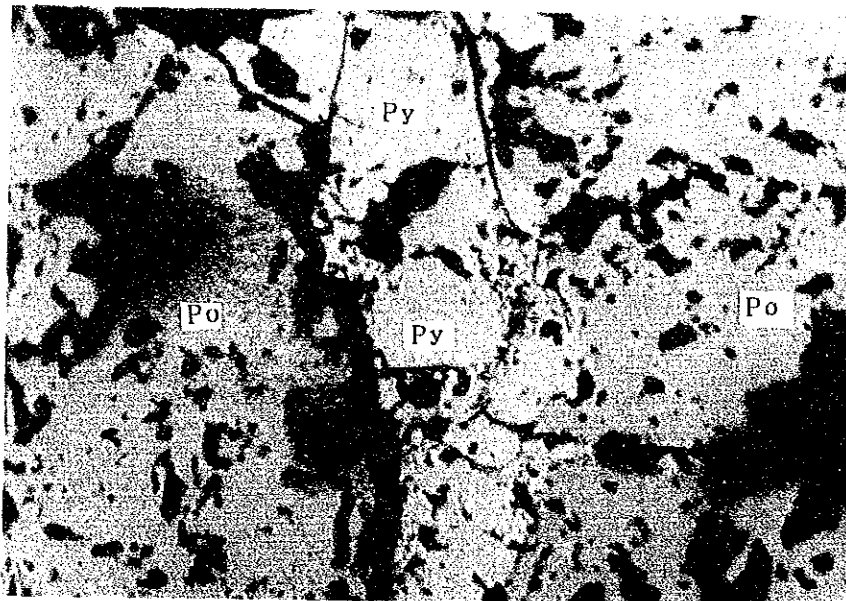


Nicol ouvert

0 _____ 0.2mm ③: Points pour l'analyse par microsonde électronique

N^o d'échantillon: R12-5
 Localité : N13° 36' 42" E1° 33' 13"
 Type de minerais: Le filon de quartz d'or
 Remarque : Or>>Ga

Le secteur Namaro



Nicol ouvert

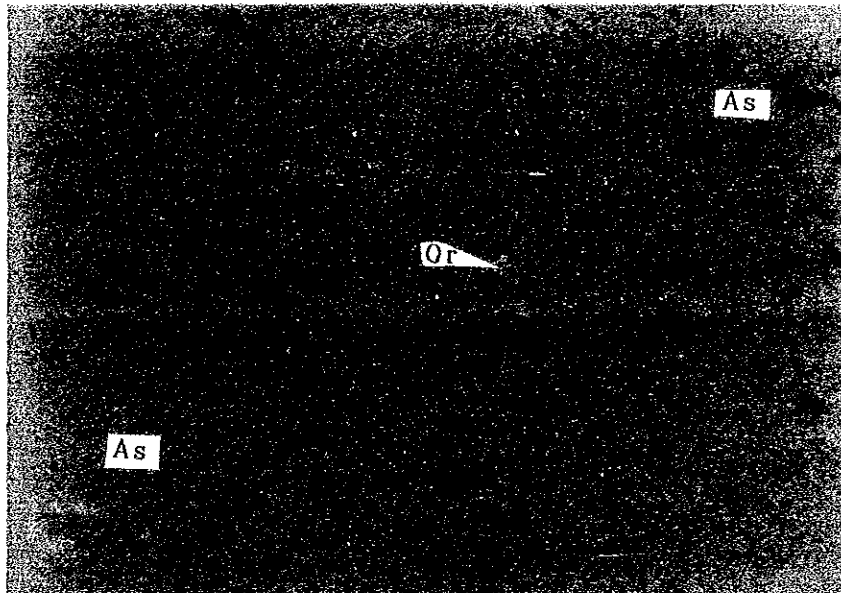
N^o d'échantillon:SSBP-3 0 0.1mm

Localité :MJNS-5 , 61.00m

Type de minerais:Le filon de quartz d'or

Remarque :Po,Py>Cp

Le secteur Séfa Nangue



Nicol ouvert

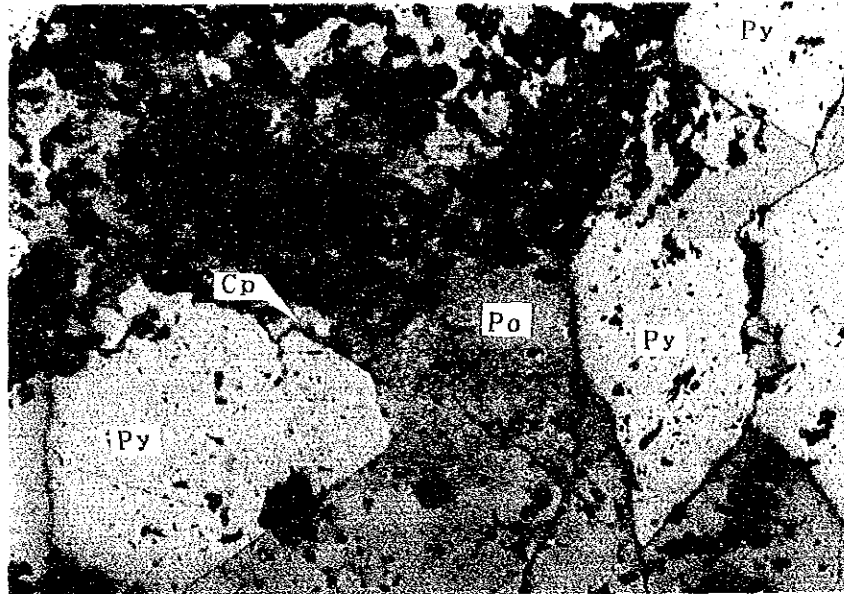
N^o d'échantillon:SSBP-4 0 0.02mm

Localité :MJNS-6 , 57.80m

Type de minerais:Le filon de quartz d'or

Remarque :As,Py>>Or

Le secteur Séfa Nangue



Nicol ouvert

N^o d'échantillon:SSBP-5

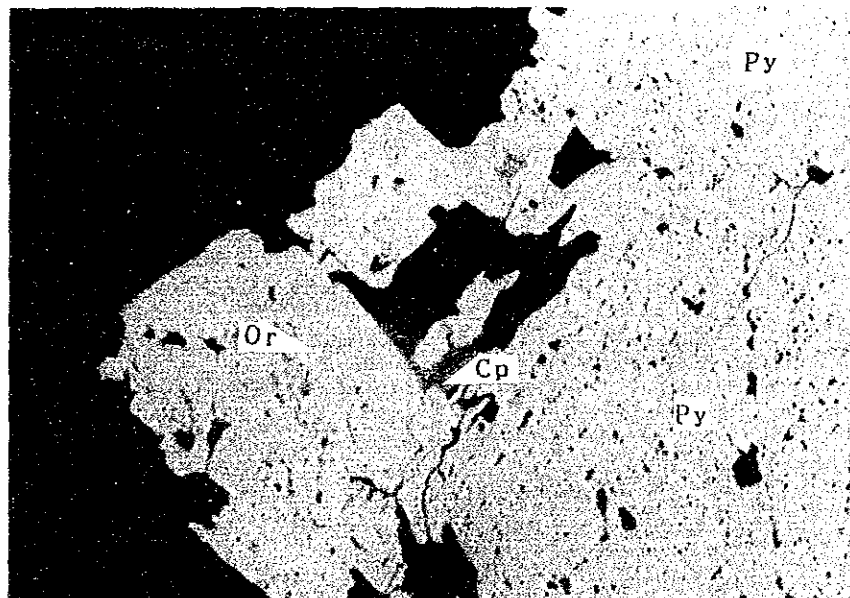
0 0.4mm

Localité :MJNS-9 , 95.60m

Type de minerais:Le filon de quartz d'or

Remarque :Po>Py>>Cp

Le secteur Séfa Nangue



Nicol ouvert

N^o d'échantillon:SSBP-6

0 0.1mm

Localité :MJNS-9 , 111.00m

Type de minerais:Le filon de quartz d'or

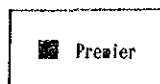
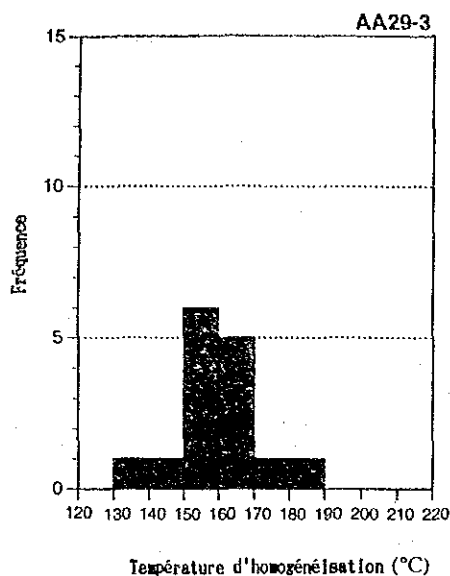
Remarque :As,Py>>Cp>>Or

Le secteur Séfa Nangue

Apc.5 Résultat d'analyse des roches dans le secteur NAMARO

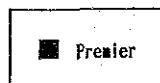
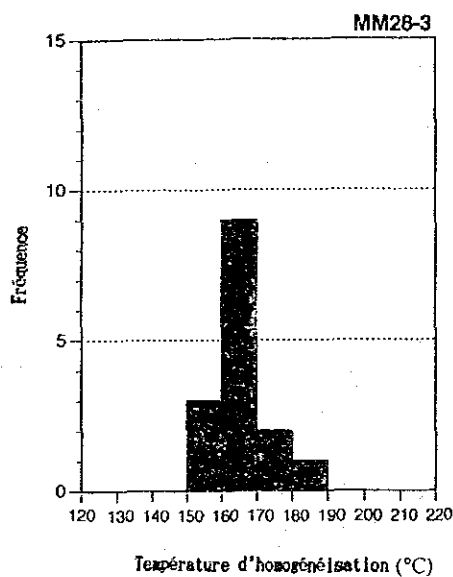
	II24	LL33	MM39	NC29	NL31	NZ41	WX4-1	BB32B	II31B	WW29B
SiO2 wt%	56.29	55.30	57.47	49.60	50.85	49.89	52.11	61.63	52.79	61.59
TiO2	0.53	0.60	0.68	0.65	0.66	0.72	1.77	0.57	0.57	0.52
Al2O3	12.64	13.05	18.32	14.13	14.02	13.31	30.08	13.77	12.40	14.73
Fe2O3	3.09	3.17	2.81	2.45	3.69	2.16	2.44	2.37	2.26	2.34
FeO	6.20	6.74	4.32	7.83	4.91	8.77	0.25	4.62	8.47	3.96
MnO	0.16	0.16	0.12	0.18	0.21	0.18	0.00	0.16	0.19	0.11
HgO	6.41	5.71	2.76	8.06	7.01	8.72	0.11	3.99	7.36	3.60
BaO	0.02	0.01	0.03	0.01	0.00	0.00	0.01	0.06	0.02	0.05
CaO	8.42	9.00	7.31	10.77	14.01	11.56	0.12	5.75	9.27	5.91
Na2O	2.12	2.55	3.97	2.36	1.31	1.43	0.03	2.94	2.09	3.36
K2O	0.41	0.28	0.61	0.11	0.05	0.07	0.02	2.20	0.31	1.36
P2O5	0.11	0.11	0.22	0.04	0.04	0.04	0.08	0.23	0.15	0.25
LOI	2.16	1.94	1.76	1.75	1.44	0.71	12.15	1.56	1.87	1.88
TOTAL	98.56	98.62	100.38	97.93	98.21	97.57	99.17	99.85	97.75	99.66
Nb ppm	5	6	10	5	4	4	31	8	5	7
Rb	16	16	22	6	11	17	<5	55	8	37
Sr	300	160	580	100	140	100	120	320	240	420
Y	<2	<2	5	<2	7	<2	<2	<2	<2	<2
Zr	64	57	157	44	46	47	366	107	44	102
Qz wt%	15.07	12.22	11.69	0.69	8.27	3.43	51.66	17.76	7.70	18.78
C	-	-	-	-	-	-	29.98	-	-	-
Or	2.42	1.65	3.60	0.65	0.30	0.41	0.12	13.00	1.83	8.04
Ab	17.94	21.58	33.59	19.97	11.08	12.10	0.25	24.88	17.68	28.43
An	23.76	23.33	30.37	27.64	32.23	29.69	0.08	17.88	23.54	21.09
Di	14.05	16.72	3.66	20.71	30.01	22.21	-	7.51	17.44	5.42
Hy	17.42	14.90	9.62	21.46	8.83	24.05	0.30	12.06	22.37	11.02
Mt	4.48	4.60	4.07	3.55	5.35	3.14	-	3.43	3.27	3.39
Hm	-	-	-	-	-	-	2.44	-	-	-
Il	1.01	1.14	1.29	1.23	1.25	1.37	0.53	1.08	1.08	0.99
Ru	-	-	-	-	-	-	1.49	-	-	-
Ap	0.25	0.25	0.51	0.09	0.09	0.09	0.19	0.53	0.35	0.58
TOTAL	96.40	96.40	98.41	95.99	97.93	96.49	87.04	98.13	95.26	97.75

Apc.6 Résultat de mesure de la température d'homogénéisation (AA29-3, MM28-3 et MM28-10)



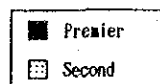
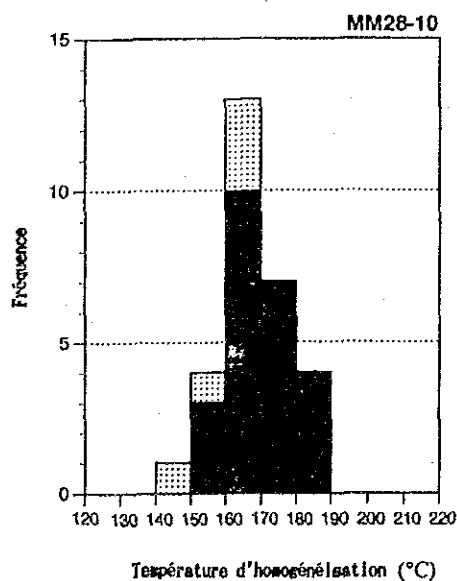
AA29-3

	Premier	Second
Nom.	15	0
Moy.	159,3°C	
Max.	185°C	
Min.	139°C	



MM28-3

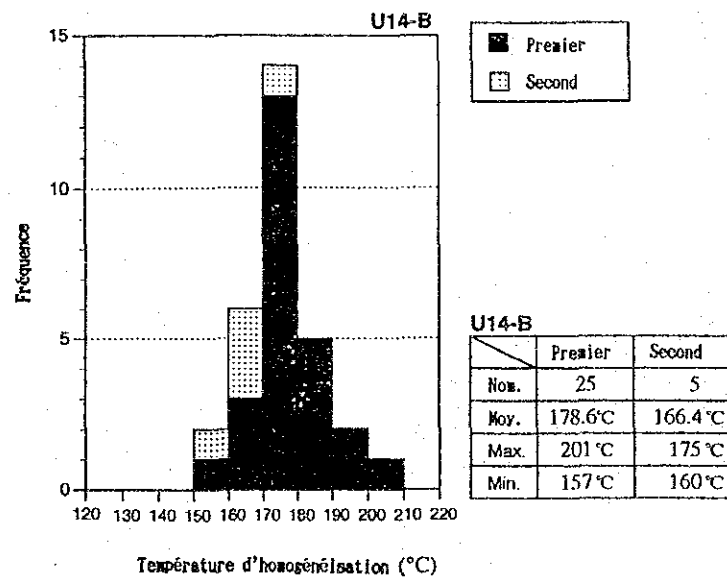
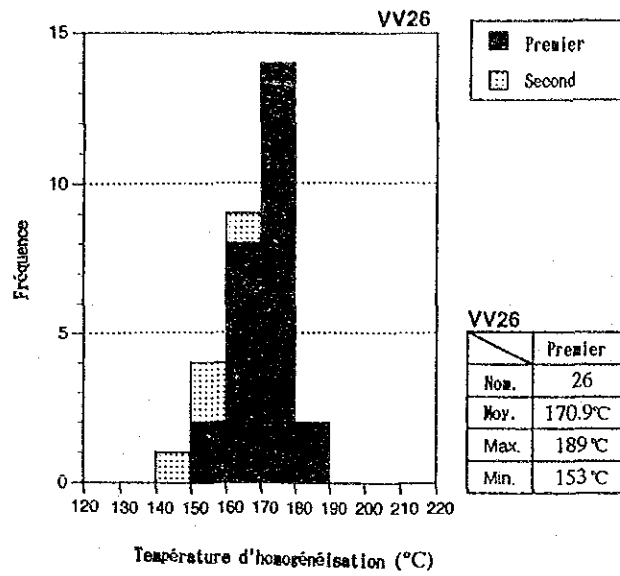
	Premier	Second
Nom.	15	0
Moy.	166,9°C	
Max.	184°C	
Min.	157°C	



MM28-10

	Premier	Second
Nom.	24	5
Moy.	170,7°C	161,2°C
Max.	185°C	170°C
Min.	156°C	150°C

Apc.7 Résultat de mesure de la température d'homogénéisation (VV26 et U14-B)



Ap. 8 Résultat d'analyse en or par microsonde électronique
(EPMA) Echantillon R12-5

Point	1	2	3	4	5	6	7	8	Moyen	Deviation
AuMa(cps)	7011.6	6965.2	7046.4	6988.7	7004.5	6993.3	6985.7	6961.6	6994.6	25.3
AsLa(cps)	1952.1	1891.7	1930.7	1960.2	1974.6	1978.6	1965.3	1950.7	1950.5	26.3
Au poid%	74.83	74.33	75.25	74.72	74.91	74.78	74.71	74.45	74.75	0.26
As poid%	22.97	22.31	22.77	23.10	23.26	23.30	23.16	22.99	22.98	0.30
Au poid%	75.61	76.92	76.77	76.39	76.31	76.24	76.34	76.40	76.49	0.22
As poid%	23.49	23.08	23.23	23.61	23.69	23.76	23.66	23.60	23.51	0.22
Au %	64.08	64.60	64.42	63.92	63.82	63.74	63.86	63.94	63.92	0.29
As %	35.92	35.40	35.58	36.08	36.18	36.26	36.14	36.06	35.88	0.28

Apc.9 Analyse par la diffraction des Rayons X

N°	N° d'échantillon	Localité		Paragénèse des minéraux																		
		Longitude	Latitude	Mon	S/M	Ch	Sc	Kl	Qz	Pl	Ab	Ep	Ru	Ana	Ca	Ak	Sd	Py	Hm	Go	Gb	
1	AA29 - 1	N13° 39'58.1"	E1° 32'22.5"				⊙	•	⊙												•	
2	AA29 - 4	N13° 39'58.1"	E1° 32'22.5"				○	•	⊙												•	
3	AA29 - 8	N13° 39'58.1"	E1° 32'22.5"				⊙	•	⊙												•	
4	MM28-2	N13° 42'16.4"	E1° 34'55.4"				○		⊙												•	
5	MM28-6	N13° 42'16.4"	E1° 34'55.4"				○		⊙												•	
6	MM28-7	N13° 42'16.4"	E1° 34'55.4"				•	•	⊙	•											•	
7	NB11 - 3	N13° 42'3.0"	E1° 41'15.0"				•	•	⊙													
8	NB11 - 4	N13° 42'3.0"	E1° 41'15.0"	•	•			•	⊙													•
9	U 1 4 - C	N13° 37'6.5"	E1° 34'43.2"				○	○	⊙			×									•	
10	U 1 4 - F	N13° 37'6.5"	E1° 34'43.2"				•	•	⊙				×								•	
		N° de sondage	Profondeur(m)																			
11	SSBX- 1	MJNS- 1	828.0			○	•		⊙							•						
12	SSBX- 2	MJNS- 2	115.10			○	○		⊙						•							
13	SSBX- 3	MJNS- 3	114.85			×			⊙						•					•		
14	SSBX- 4	MJNS- 4	86.90				•		⊙						•					•		
15	SSBX- 5	MJNS- 5	81.60			×	•		⊙						•					•		
16	SSBX- 6	MJNS- 6	131.70						⊙											○		
17	SSBX- 7	MJNS- 6	135.55				×		⊙											○	•	
18	SSBX- 8	MJNS-14	111.70			•			⊙		○											
19	SSBX- 9	MJNS-15	63.90			⊙	•		⊙											○	•	
20	SSBX-10	MJNS-18	134.30			•			⊙		•									•	•	

Abbréviation Mon : Montmorillonite S/M : Séricite-montmorillonite lamelle mêlée Ch : Chlorite Sc : Séricite Qz : Quartz Pl : Plagioclase
 Ab : Albite Ep : Epidote Ru : Rutile Ana : Anatase Ana : Anatasite Ca : Calcite Ak : Ankerite Sd : Sidérite
 Py : Pyrite Hm : Hématite Go : Goéthite Gb : Gibbsite Gb : Gibbsite Ca : Calcite Ca : Calcite Ca : Calcite Ca : Calcite Ca : Calcite
 ⊙ : abondant ○ : moyen ● : faible × : rare

Apc.10 Tableau d'analyse de détermination d'âge(Rb/Sr)

Isochron #II31:

Sample #	T.I.#	Sr ppm	Rb ppm	$^{87}\text{Rb}/^{86}\text{Sr}$	$^{87}\text{Sr}/^{86}\text{Sr}$
A	92-358	453	2.32	.0148	.70201±.00030
B	92-359	292	8.52	.084	.70405±.00012
C	92-360	487	28.2	.167	.70840±.00017

Best slope = 0.04283 ± .00656
 $^{87}\text{Sr}/^{86}\text{Sr}(i)$ = 0.70103 ± .00071
 Age = 2953 ± 443 M.Y.

Isochron #BB32:

Sample #	T.I.#	Sr ppm	Rb ppm	$^{87}\text{Rb}/^{86}\text{Sr}$	$^{87}\text{Sr}/^{86}\text{Sr}$
A	92-361	421	42.4	.292	.71159±.00014
B	92-362	460	40.7	.256	.70991±.00029
C	92-363	347	44.6	.372	.71280±.00026

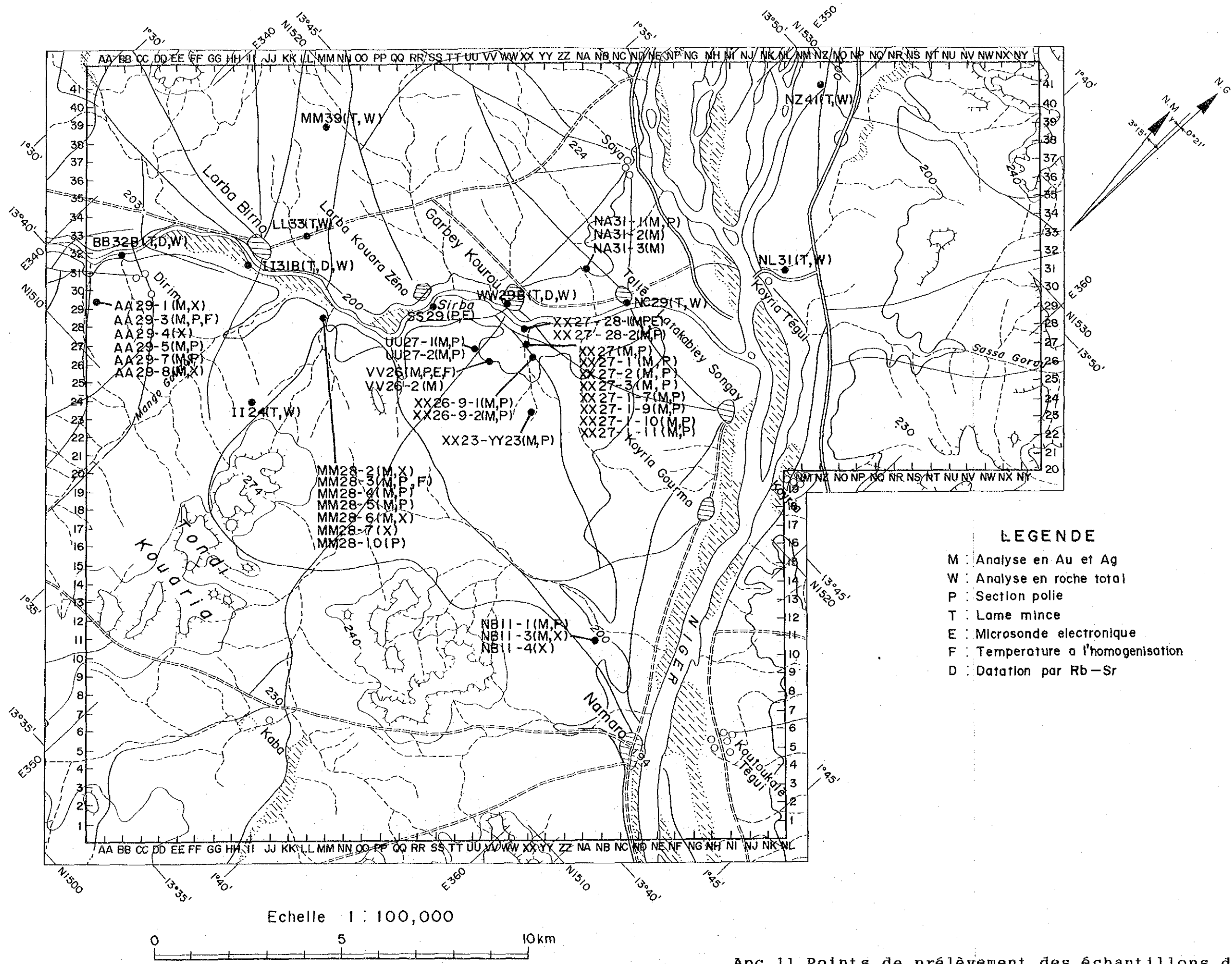
Best slope = 0.02444 ± .00753
 $^{87}\text{Sr}/^{86}\text{Sr}(i)$ = 0.70394 ± .00234
 Age = 1701 ± 517 M.Y.

Isochron #WW29:

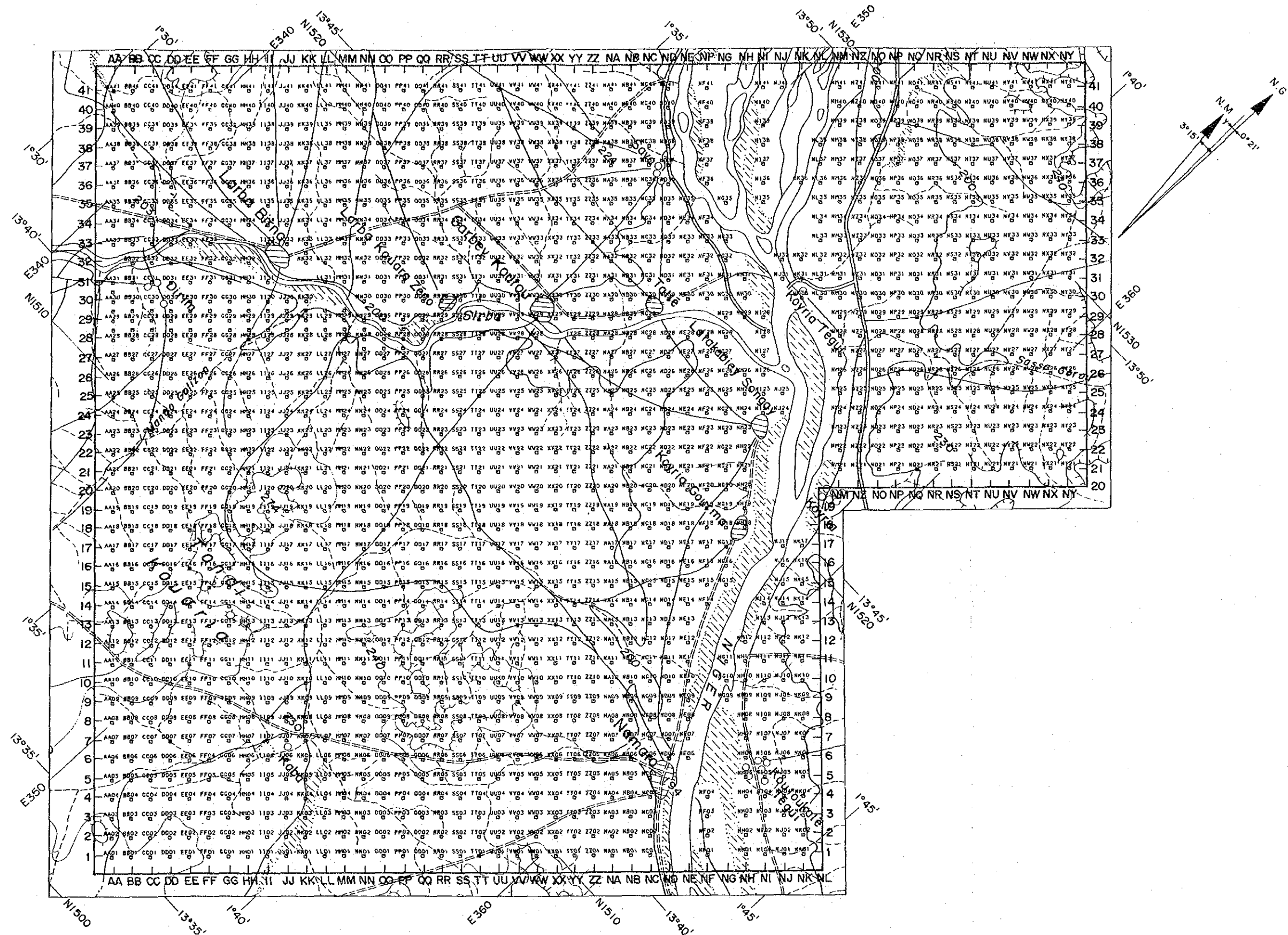
Sample #	T.I.#	Sr ppm	Rb ppm	$^{87}\text{Rb}/^{86}\text{Sr}$	$^{87}\text{Sr}/^{86}\text{Sr}$
A	92-355	351	39.5	.325	.71156±.00021
B	92-356	494	28.4	.166	.70740±.00019
C	92-357	482	44.3	.265	.71048±.00010

Best slope = 0.02688 ± .00349
 $^{87}\text{Sr}/^{86}\text{Sr}(i)$ = 0.70304 ± .00091
 Age = 1868 ± 239 M.Y.

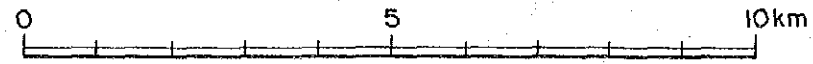
Apc.11-19 Résultat d'étude géochimique
(La partie d'étude Stratégique)



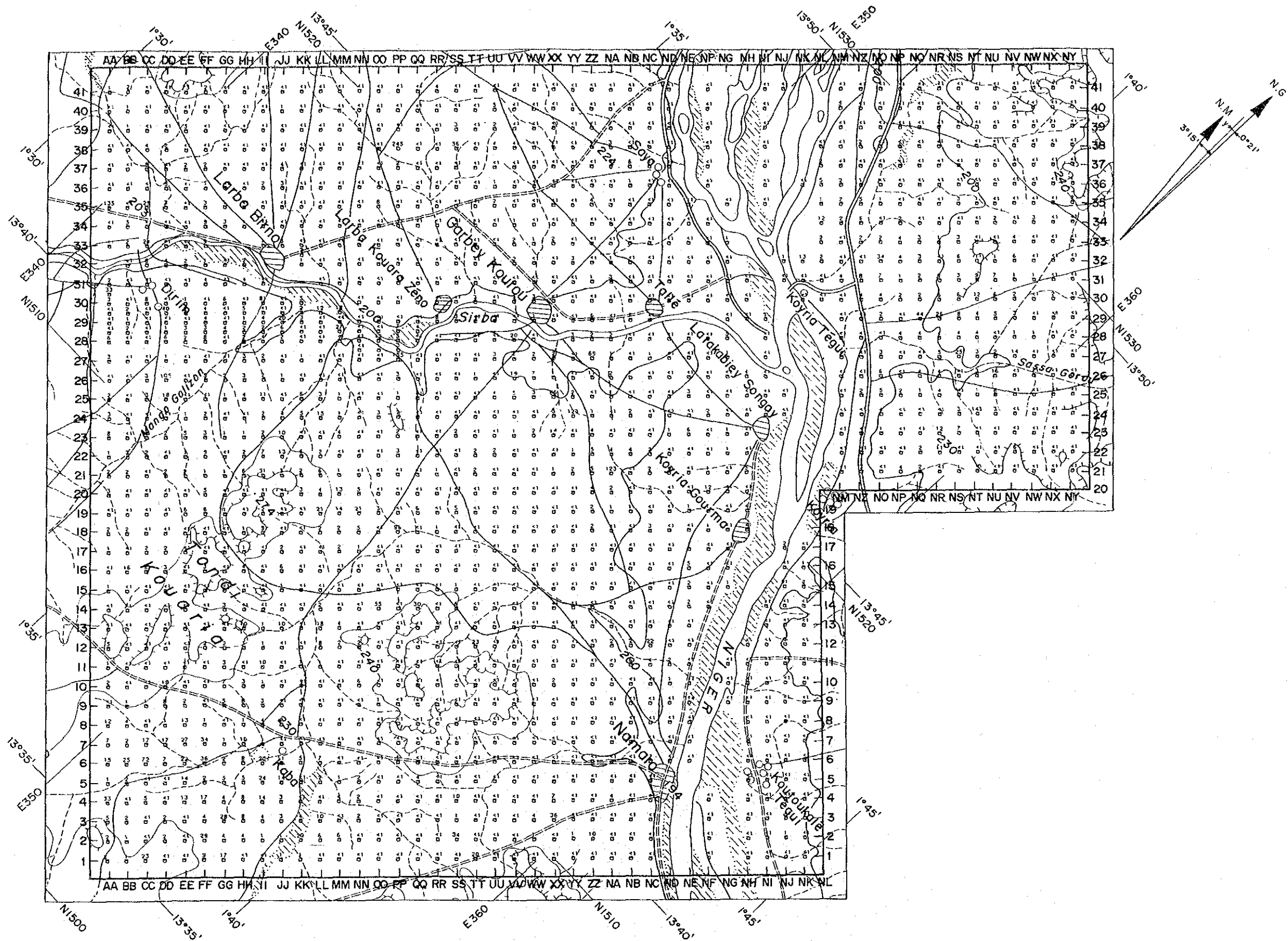
Apc.11 Points de prélèvement des échantillons des roches
(La partie d'étude stratégique)



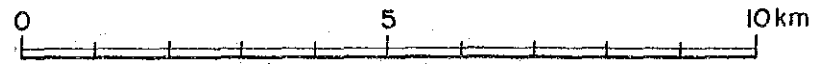
Echelle 1 : 100,000



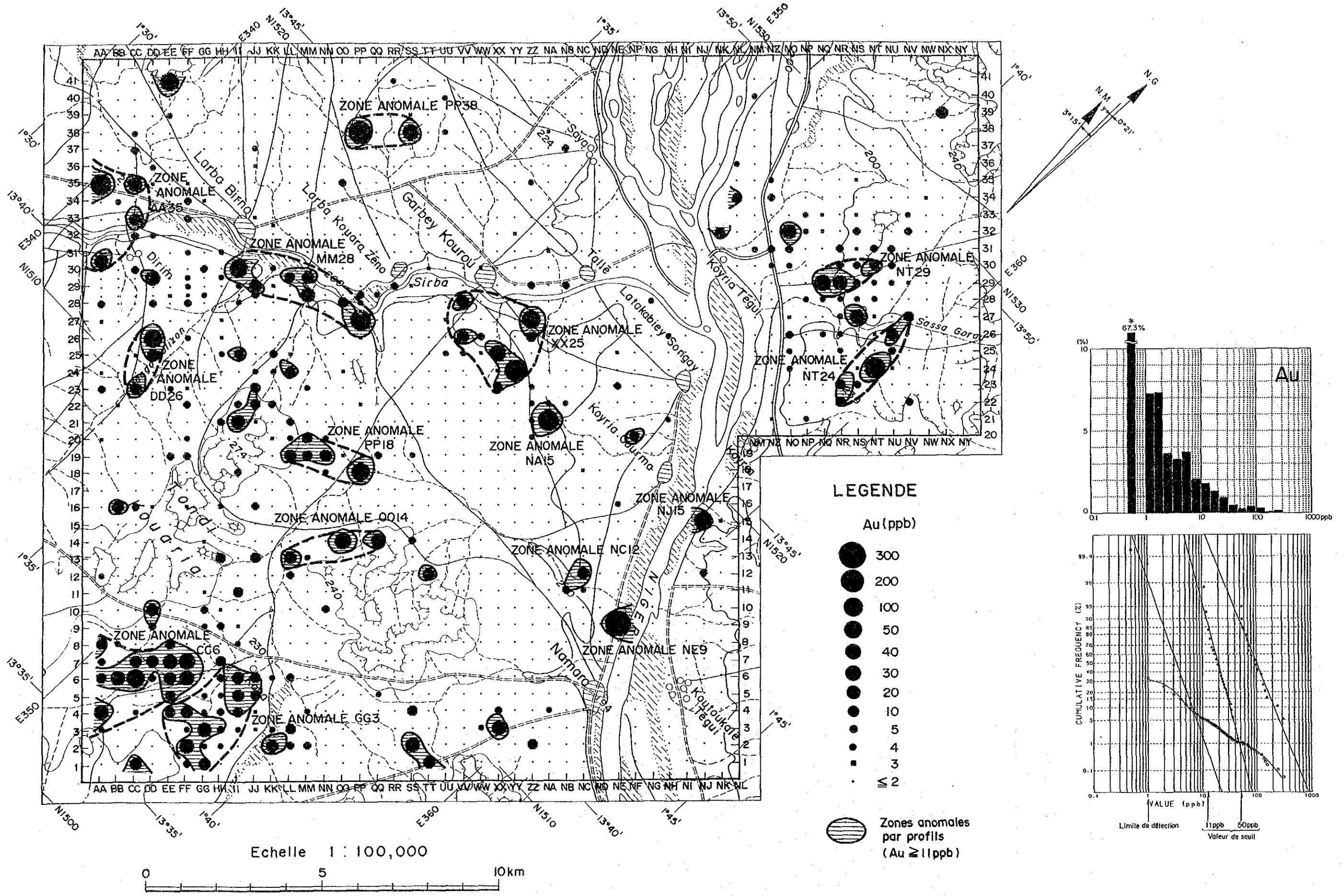
Apc.12 Points de Prélèvement des échantillons pour l'étude géochimique (La partie d'étude stratégique)



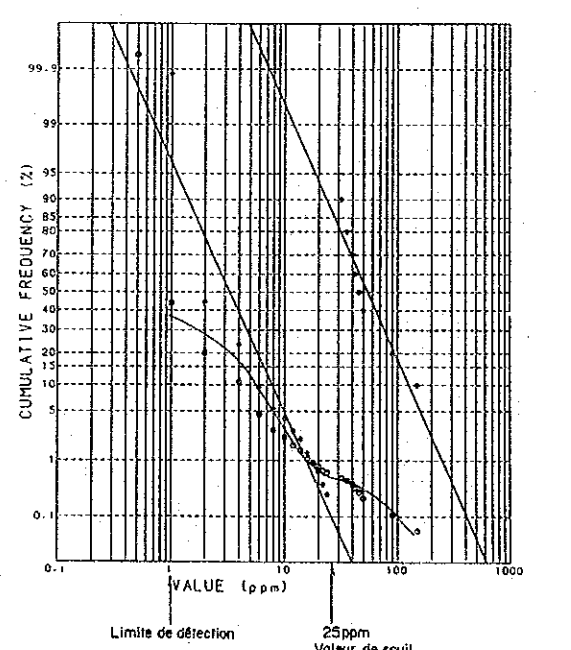
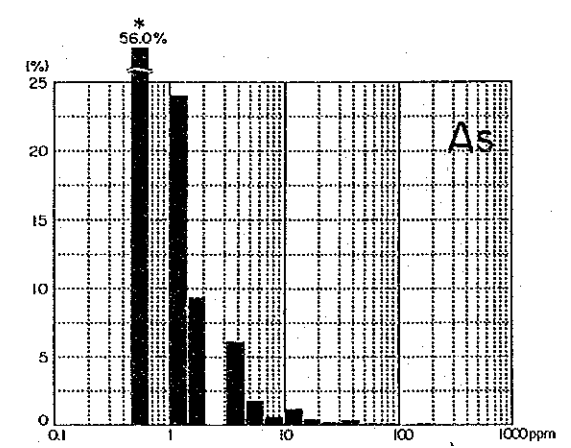
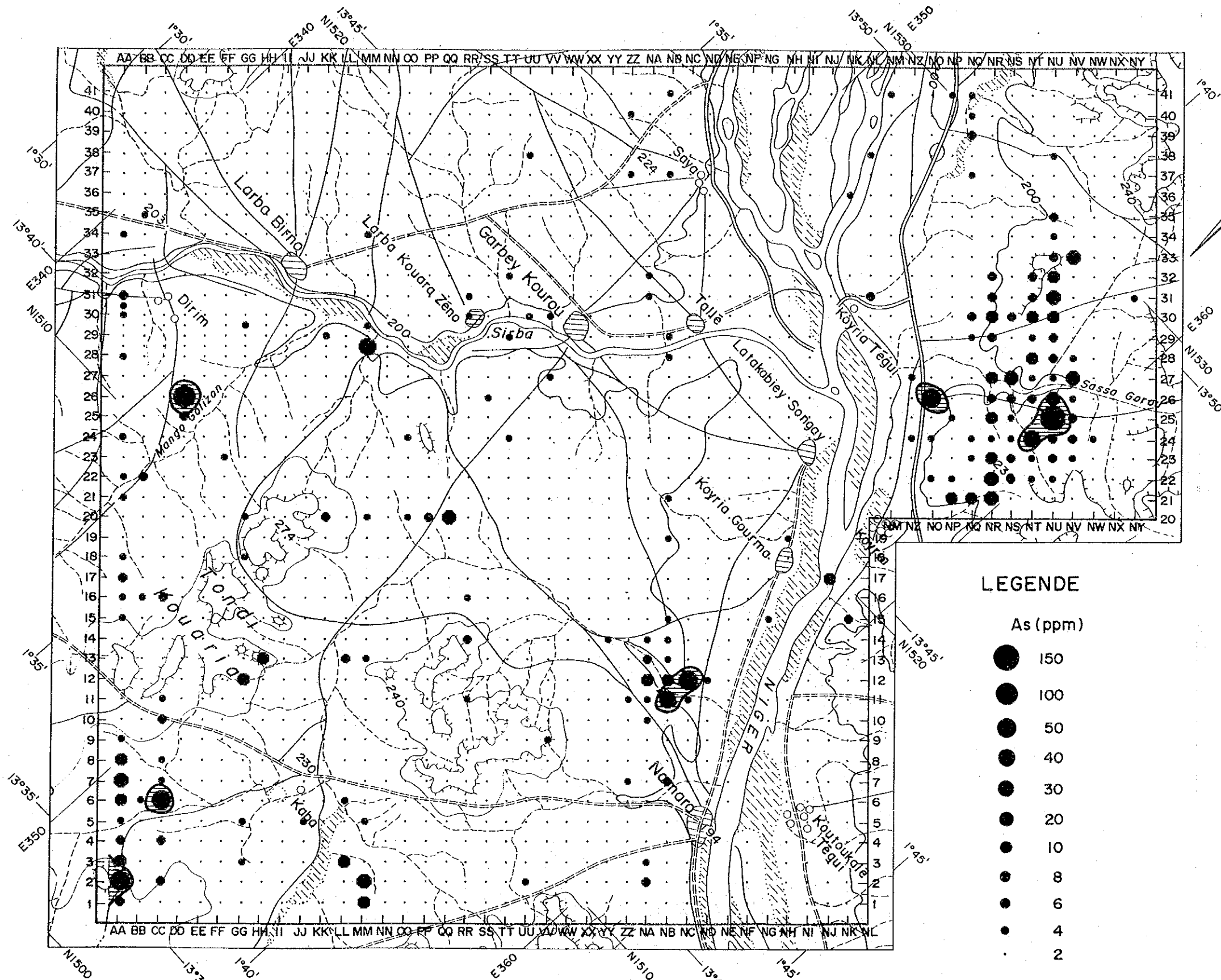
Echelle 1 : 100,000



Apc.13 Points d'échantillonnage géochimique et teneurs en Au (La partie d'étude stratégique)



Apc.14 Carte des teneurs en Au
(La partie d'étude stratégique)



LEGENDE

As (ppm)

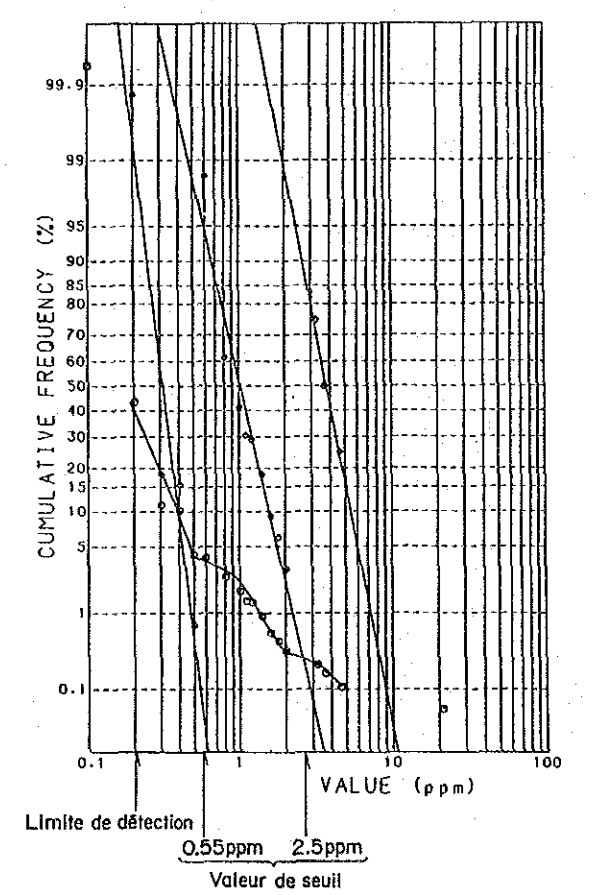
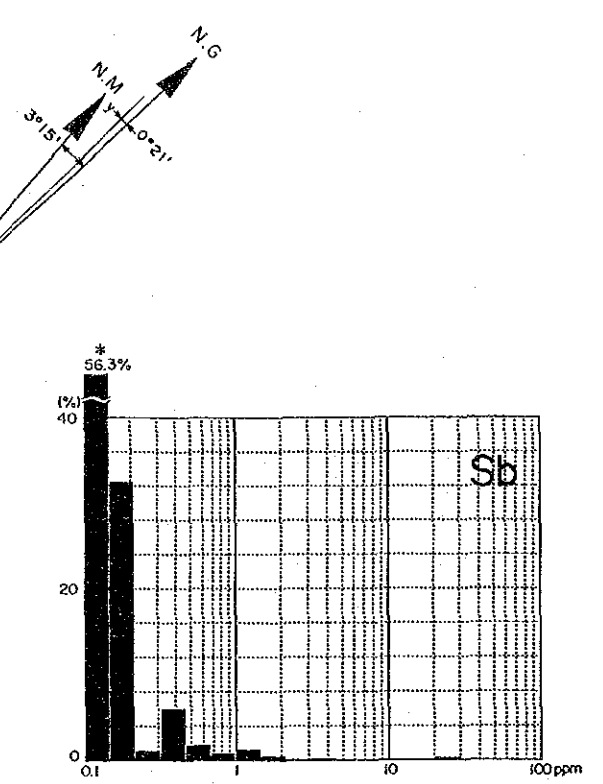
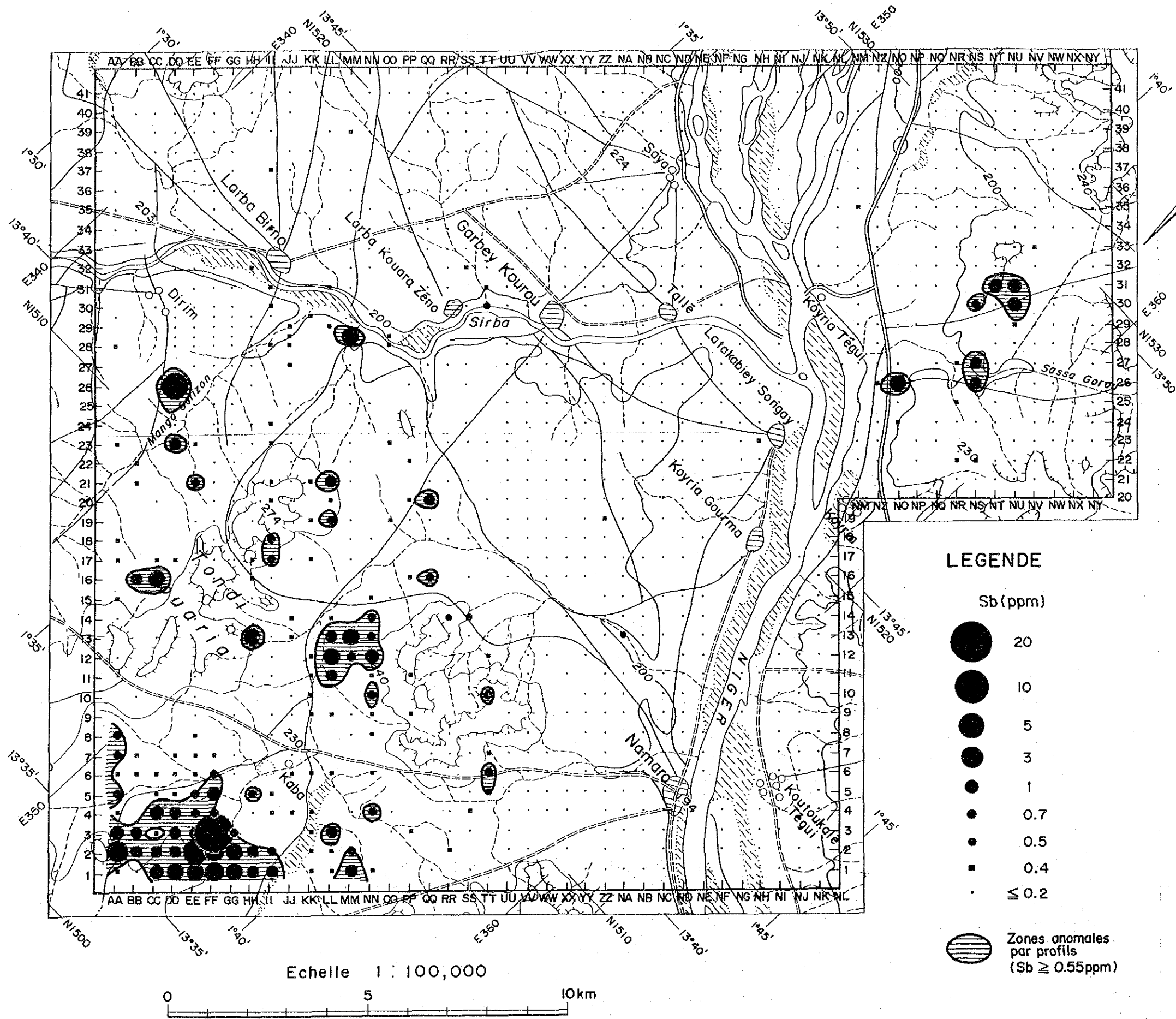
- 150
- 100
- 50
- 40
- 30
- 20
- 10
- 8
- 6
- 4
- 2

○ Zones anormales par profils (As ≥ 25ppm)

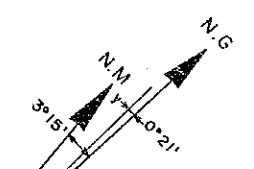
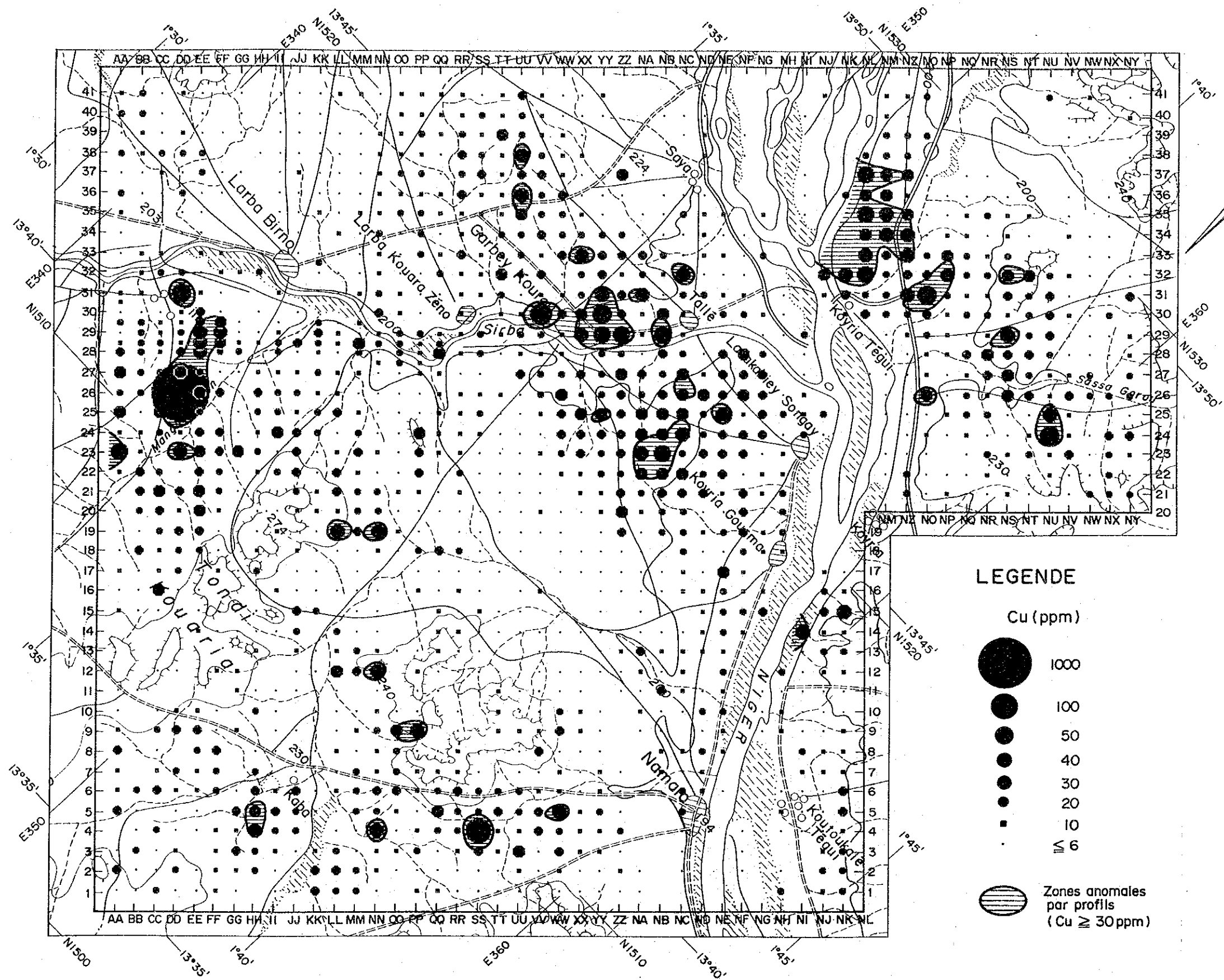
Echelle 1 : 100,000

0 5 10km

Apc.15 Carte des teneurs en As
(La partie d'étude stratégique)



Apc.16 Carte des teneurs en Sb
(La partie d'étude stratégique)



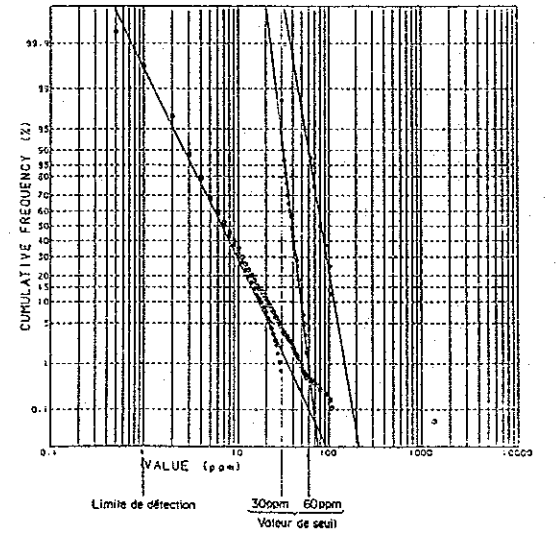
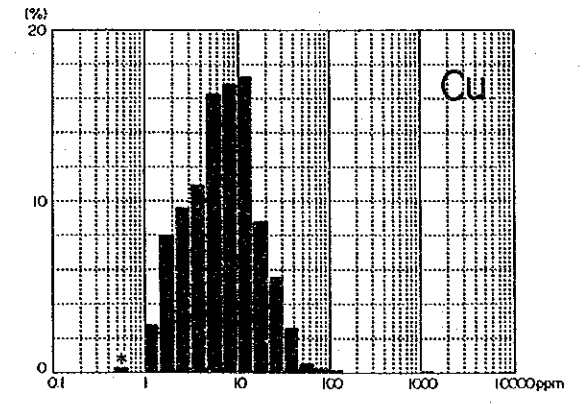
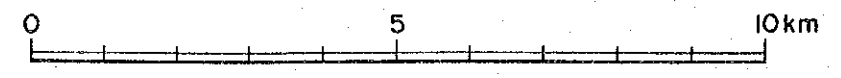
LEGENDE

Cu (ppm)

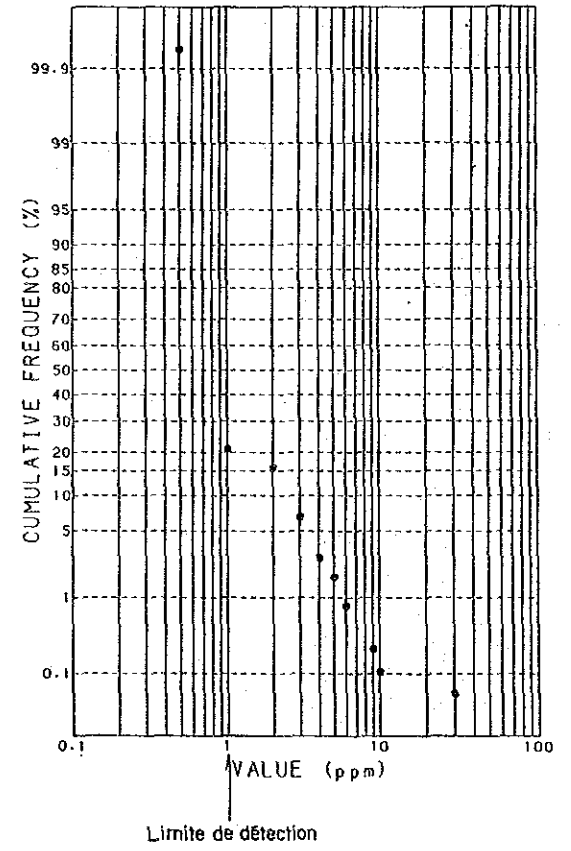
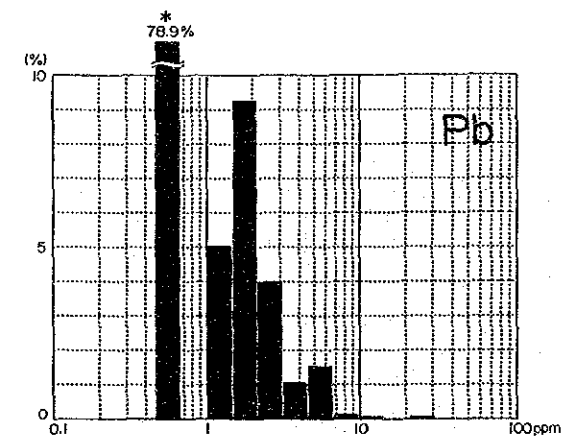
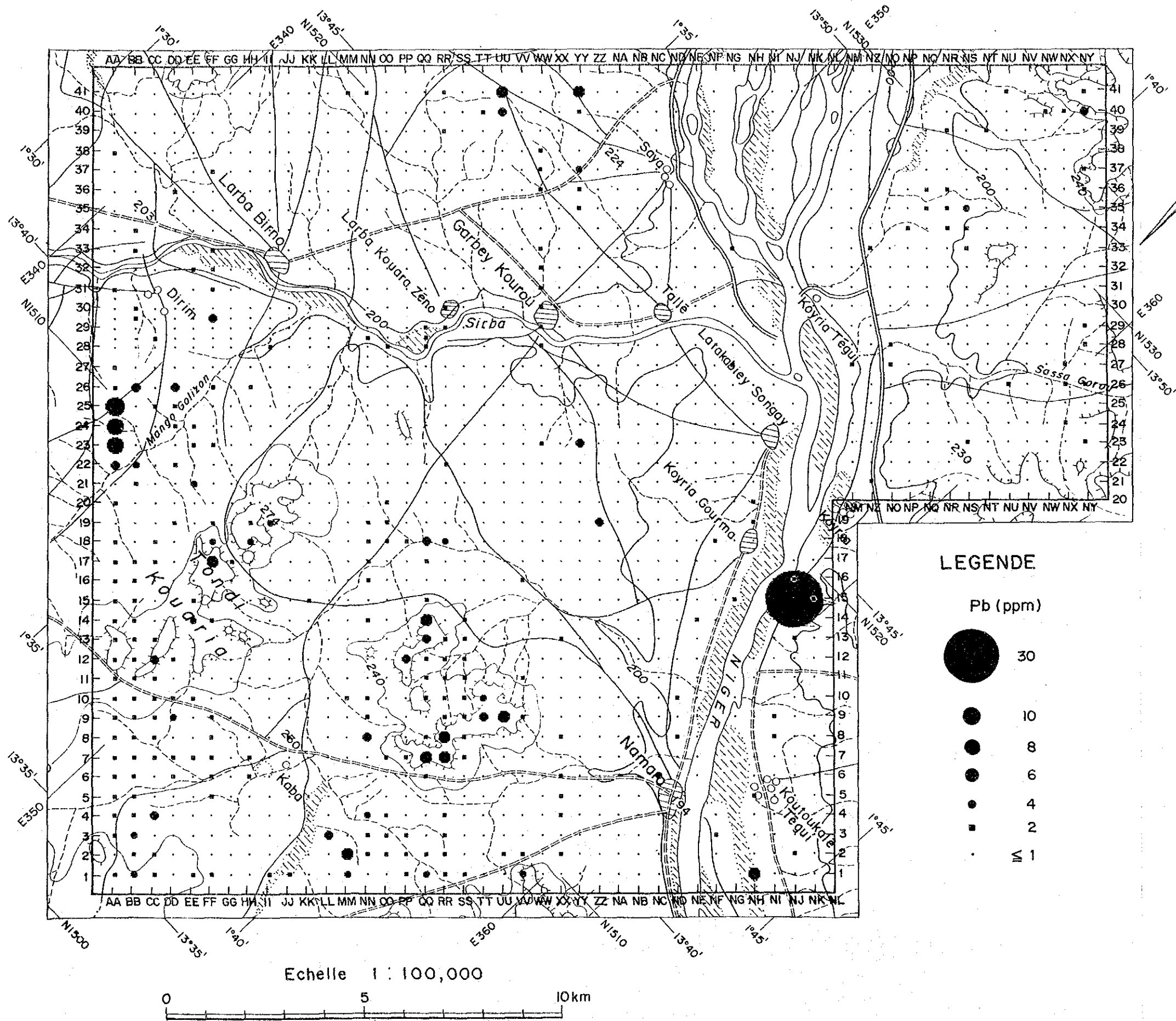
- 1000
- 100
- 50
- 40
- 30
- 20
- 10
- ≤ 6

Zones anormales par profils (Cu ≥ 30 ppm)

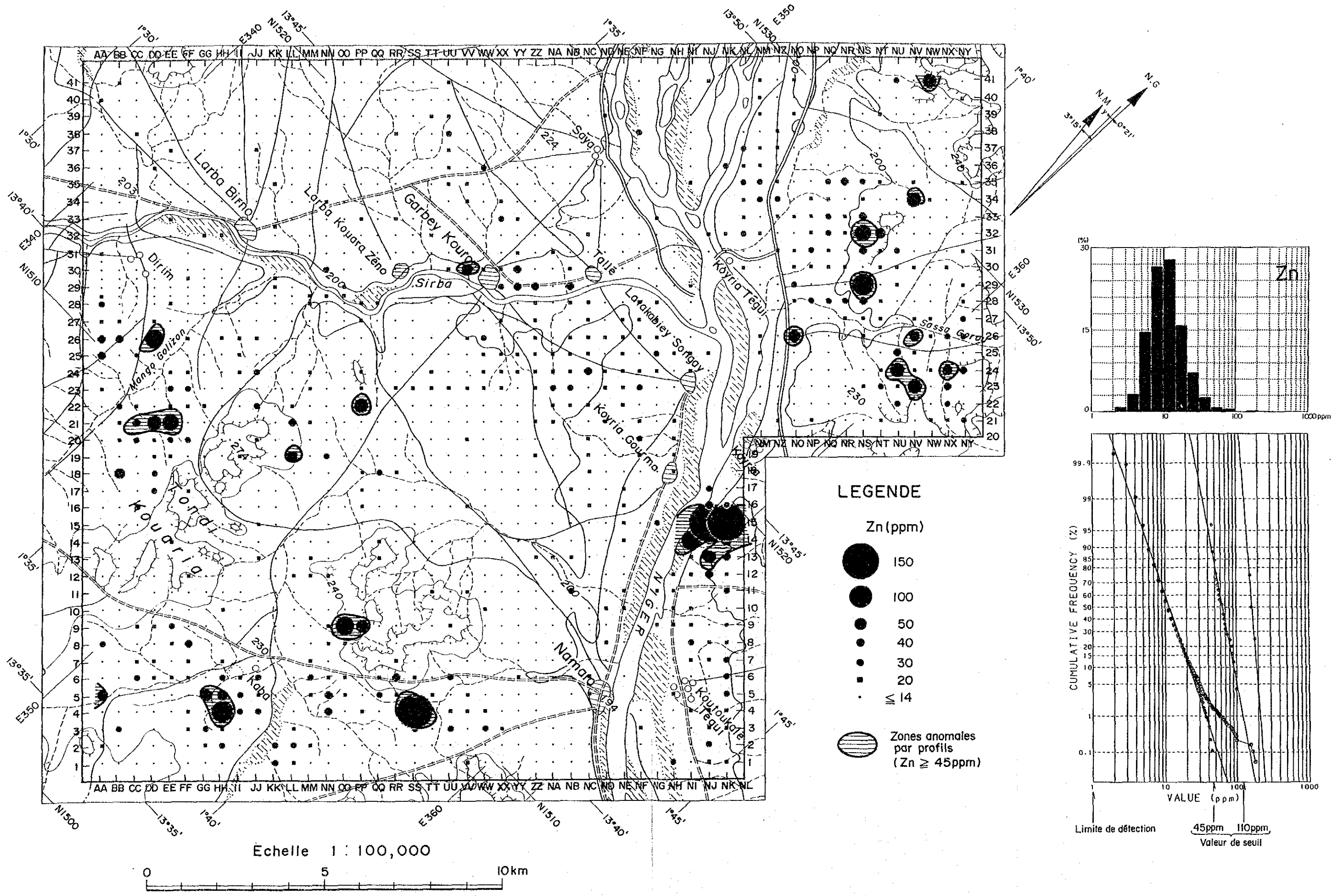
Echelle 1 : 100,000



Apc.17 Carte des teneurs en Cu
(La partie d'étude stratégique)

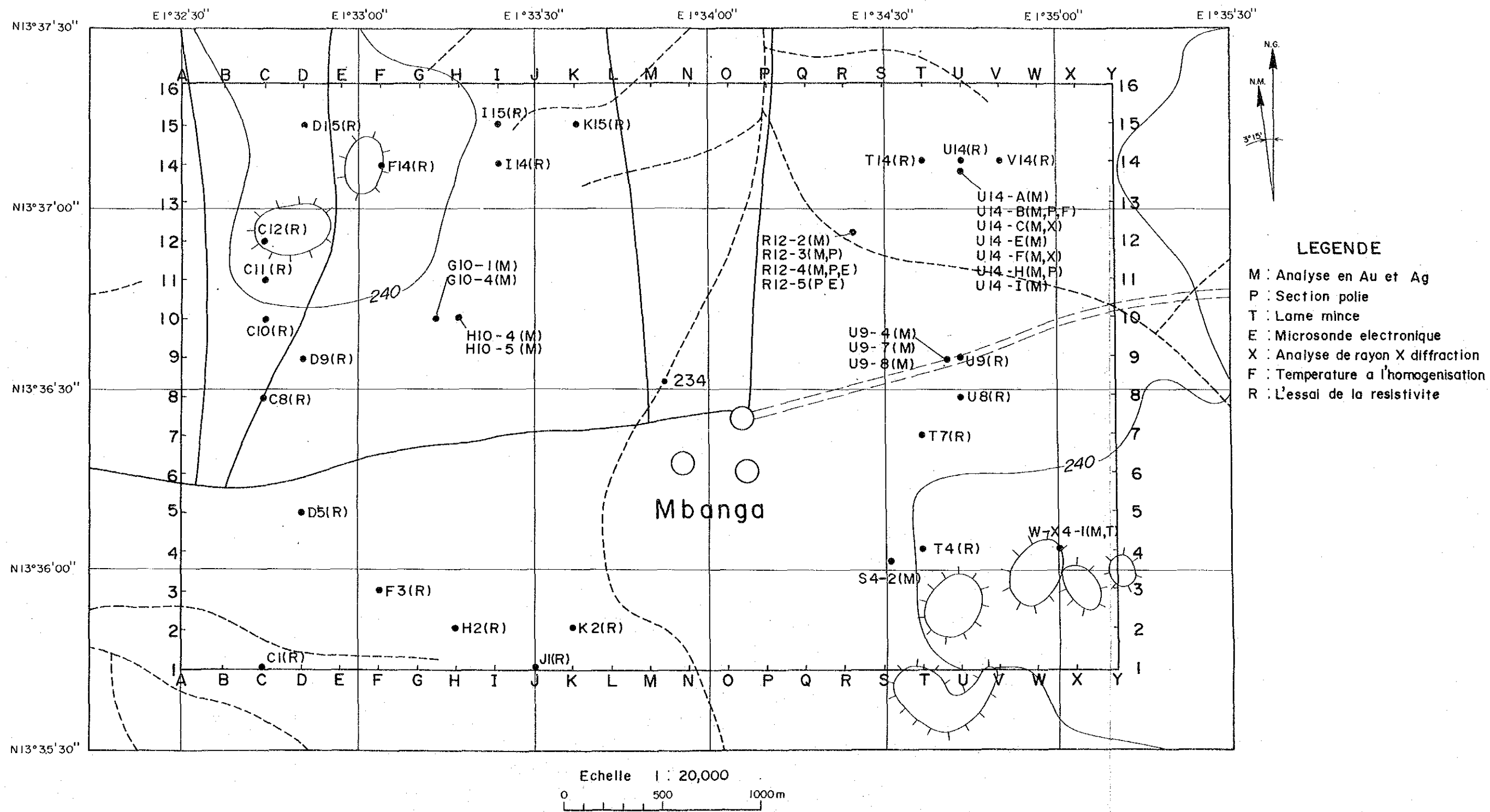


Apc.18 Carte des teneurs en Pb
(La partie d'étude stratégique)

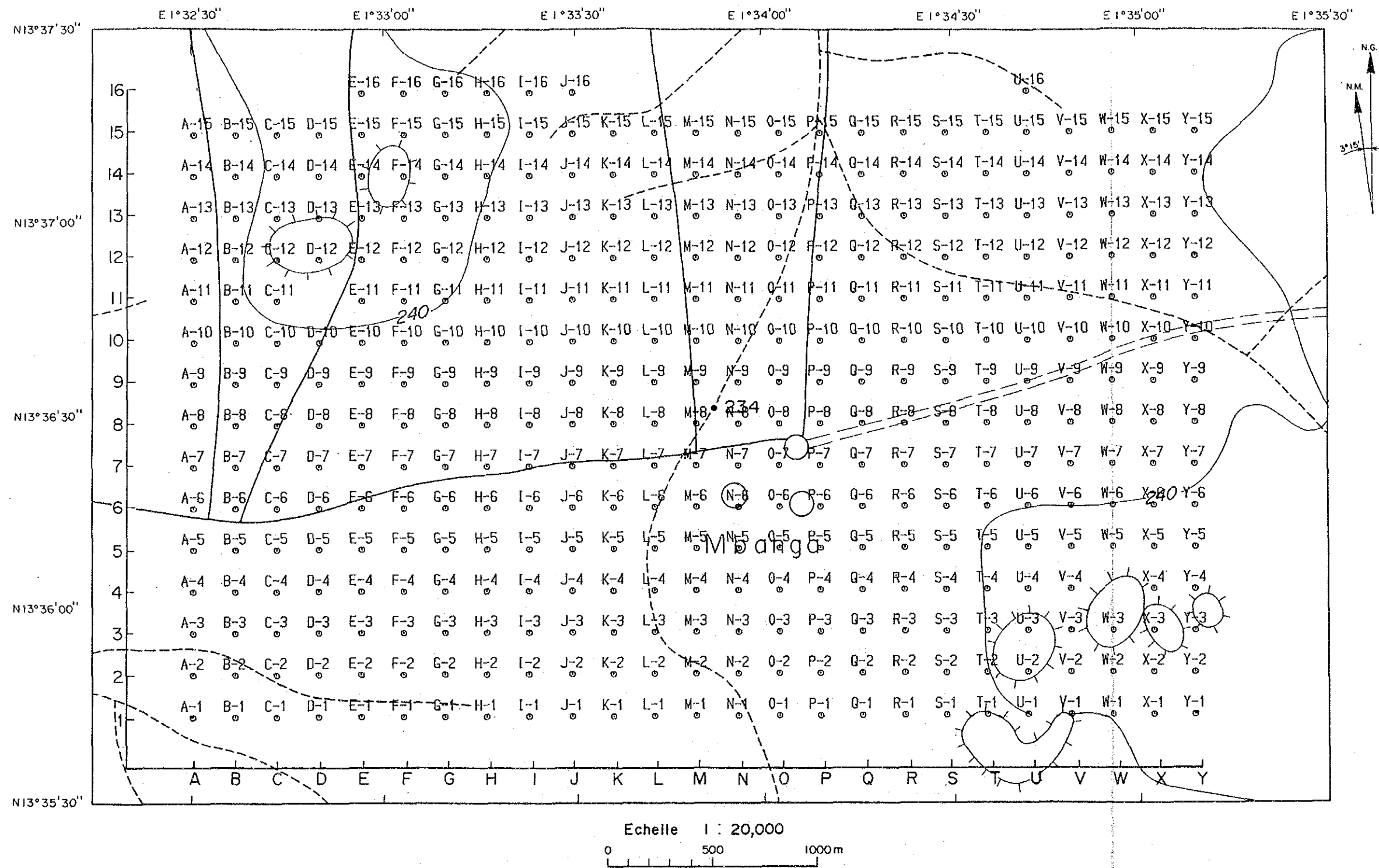


Apc.19 Carte des teneurs en Zn
(La partie d'étude stratégique)

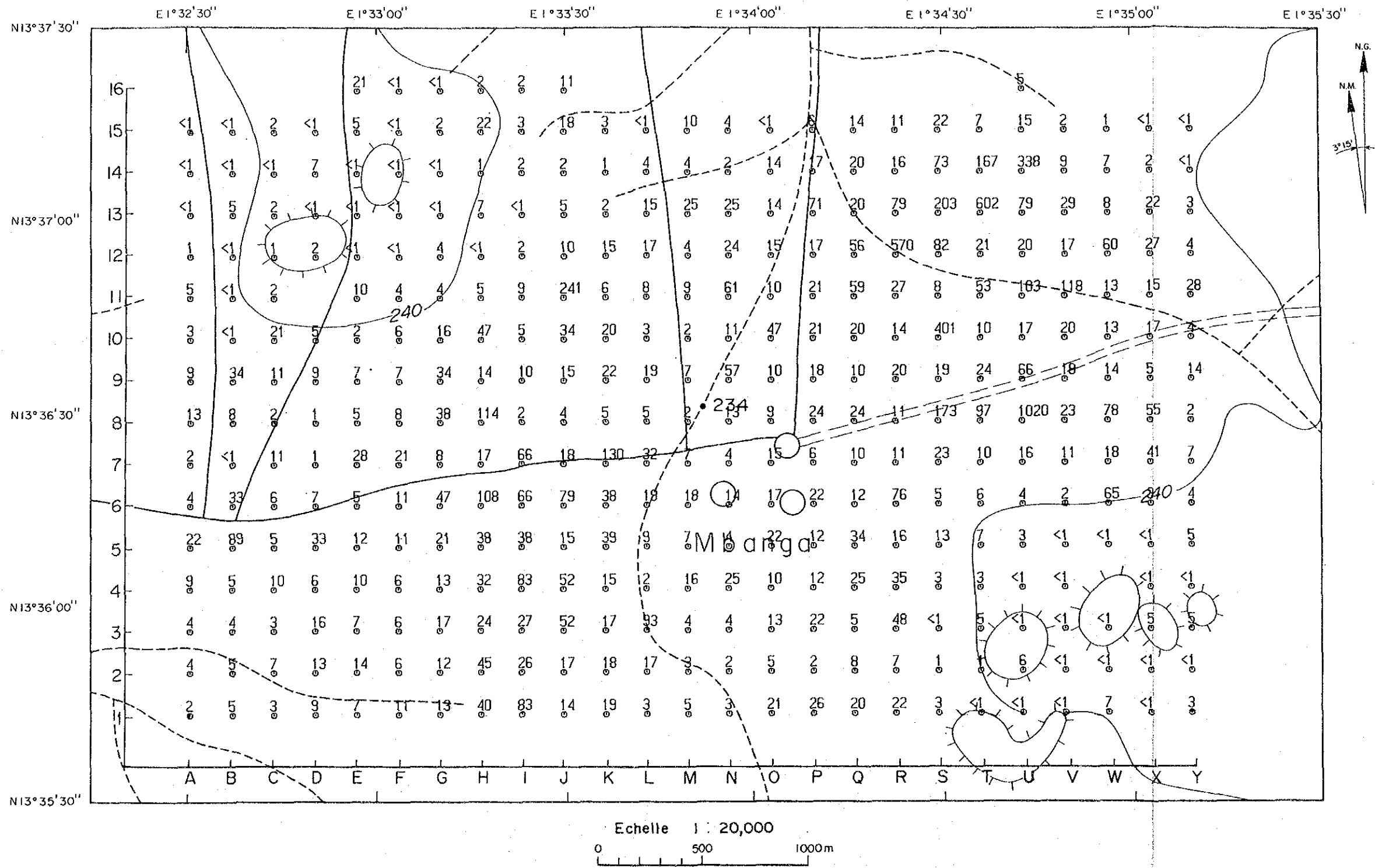
Apc.20-28 Résultat d'étude géochimique
(La partie d'étude en détail)



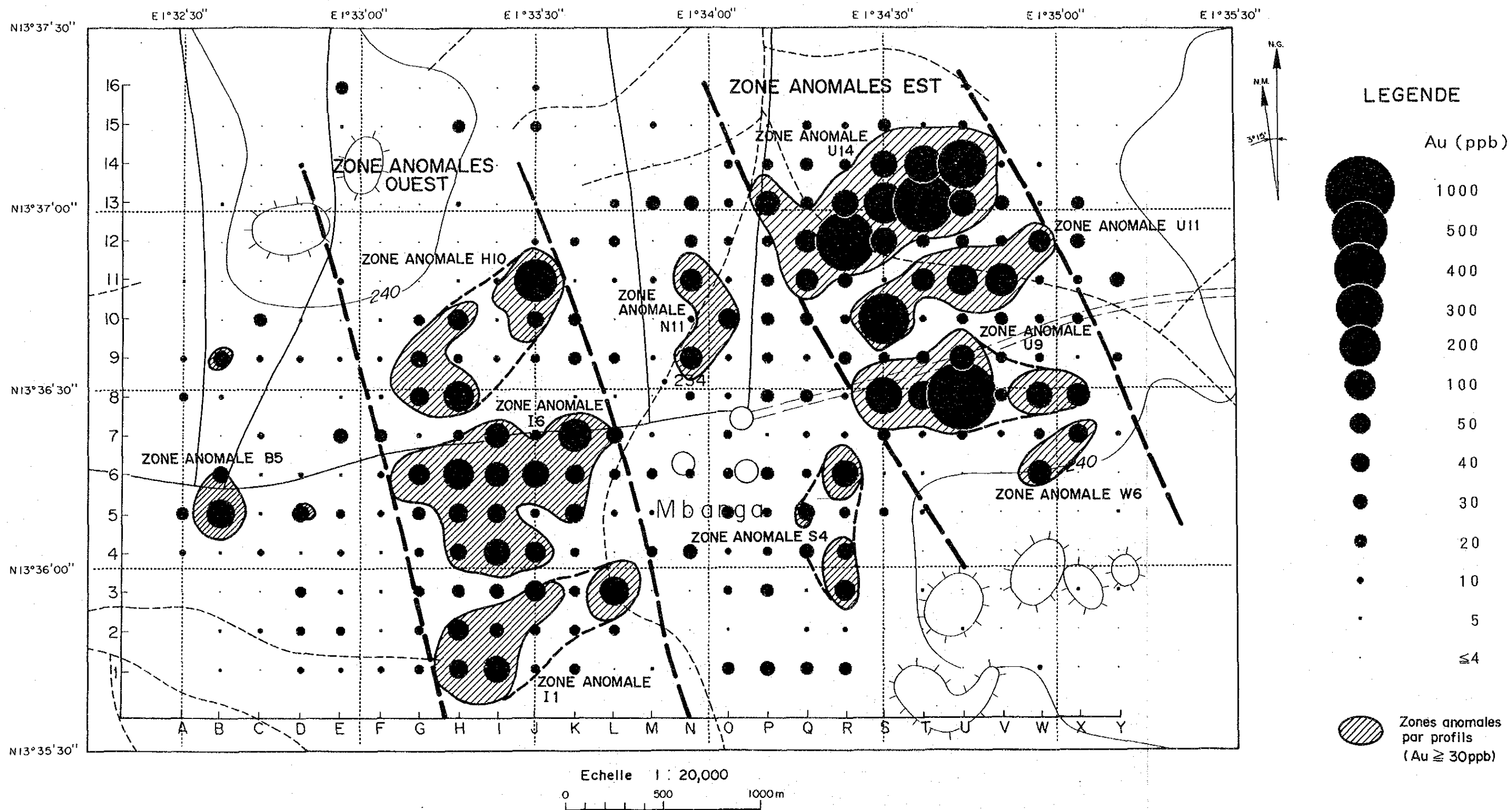
Apc.20 Points de prélèvement des échantillons des roches
(La partie d'étude en détail)



Apç.21 Points de Prélèvement des échantillon pour l'étude géochimique(La partie d'étude en détail)



Apc.22 Points d'échantillonnage géochimique et teneurs en Au (La partie d'étude en détail)



Apc.23 Carte des teneurs en Au
(La partie d'étude en détail)